

# 循環型因果構造の発見

で

トーマス・リチャードソン

1996年2月1日

レポート CMU-PHIL-68



哲学方法論論理  
学

ユ

ー

ペンシルバニア州ピッツバーグ 15213-3890

# 循環型因果構造の発見

トーマス・リチャードソン

「ドソン」テトラッド

グループ 哲学科

CMU

## アブストラクト

本論文は、観測データから因果推論を行う際に、その根底にある因果構造がフィードバックループを含んでいる可能性がある場合の問題を扱っている。特に、データを生成した因果系が線形であり、測定されていない共通原因（潜在変数）が存在しないという仮定の下で、因果推論を行うことである。この種の線形因果構造は、非再帰型線形構造方程式モデルで表現することができる。

潜在変数を含まない線形循環モデルの正しい多項式時間（スパースグラフ上）発見アルゴリズムを発表する。このアルゴリズムは、観測データを入力として、非再帰的線形構造方程式モデルのクラスの表現を出力する。観測データに見られる全ての条件付き独立性が、特定のパラメータ値のためではなく、構造的な理由で真であるという仮定の下、このアルゴリズムは、データを生成した構造の原因的特徴を発見する。本アルゴリズムの簡単な修正により、2つの有向グラフ（環状または非環状）が同じ条件付き独立関係の集合を伴うかどうかを決定するための決定手順（実行時間は頂点数の多項式）として使用することができる。

アルゴリズムが正しいことを証明した後、私は、2つの線形構造方程式モデル

が発見アルゴリズムの条件付き独立性のオラクルとして使用される場合、アルゴリズムが同じ出力を与えるのは、一方のモデルが内包するすべての条件付き独立性が他方のモデルも内包し、逆もまた然りであるという意味で、アルゴリズムも完全であることを示す。別の言い方をすれば、このアルゴリズムは有向環状グラフのマルコフ同値性を決定するための決定手順として用いることができる。2つの環状グラフに関連する条件付き独立性が、アルゴリズムから同じ出力をもたらす場合、入力として用いれば、その2つのグラフは同値である。

---

P. Spirtes, C. Glymour, R. Scheines & C. Meekの有益な会話に感謝する。NSF grant 9102169の支援を受けた研究。01995 トーマス・リチャードソン（カーネギーメロン大学）。

## §1 線形フィードバックと非再帰的構造方程式モデル

### §1.1 線形構造方程式モデル

構造方程式モデル（SEM）では、変数はエラー変数と実体変数の2つの不連続な集合に分けられる。各実質変数 $V$ には固有の誤差項 $*_v$ があり、線形SEMでは各実質変数 $V$ は他の実体変数の線形関数として書かれ、 $*_v$  線形SEMでは誤差項に対する共同分布も指定される。

一次方程式の係数が、実体変数が誤差変数のみの一意な線形関数となるようなものであれば、方程式の集合は縮小形を持つと言われる。縮小形を持つ線形SEMは、実体変数に関する共同分布も決定する。ここでは、縮小形が存在する係数を持ち、実体変数間のすべての分散と部分分散が有限かつ正であり、実体変数間のすべての部分相関がよく定義されている（例えば無限ではない）線形SEMのみを検討する。さらに、誤差項が共同独立である線形SEMのみを検討することにする。これは、データを生成した構造に測定不能な共通

原因が存在しないという仮定に対応する。

この議論では、第一モーメントにはこだわらないので、各変数をは、一般性を損なうことなく、その平均値からの偏差と

して表現される。以下は、非再帰型線形SEMの例である

:

$$\begin{aligned} X &= e_x & Y &= e \\ A &= \alpha X + \gamma & B &= \beta A + e_y \end{aligned}$$

$e_y$ は共同独立した標準正規誤差項である。

構造方程式モデルは、変数のある順序で係数の行列が下三角形になる場合、再帰的であると言われます。

## 1.2 グラフ

有向グラフは、与えられた線形SEMに自然に関連付けられ、Yの方程式におけるXの係数が0でない場合にのみ、XからYへの辺が存在する（ $X \rightarrow Y$ ）という規則がある。慣例として、誤差項はグラフに含まれない。したがって、上のモデルに関するグラフは次のようになる（ここでは、誤差項は省略され、共同独立と仮定されている）：

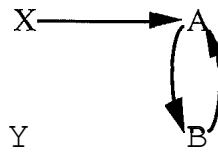


図1

誤差項の分布が共同独立である線形SEMは、その関連グラフのパラメータ化を構成する。**非周期的な**グラフに関連する線形SEMが再帰的構造方程式モデルとなることは容易に理解できる。

### 1.3 リニアエンタイルメント

X、Y、Z\*の不連続な集合を含む有向グラフは、ゼロでない線形係数のすべての値、およびそれらが正の分散を持ち共同独立である外生変数のすべての分布について、XがZを与えられたYから独立している場合にのみ、XがZを与えられたYから独立していることを**線形的に内包**する。有向グラフを持つ特定のSEMにおいて、 $X \perp\!\!\!\perp Z \mid Y$  が線形に内包していなくても成り立つ条件付き独立性があることに注意することが重要である。しかし、すべてのパラメータ化ではなく、あるパラメータ化でゼロ相関が成り立つ場合、この「余分の」条件付き独立性が成り立つパラメータ化の集合は、ゼロ以外の線形係数へのすべてのパラメータ値の割り当ての集合に対してゼロルベージ尺度になる。

図1のグラフの例では、モデルが線形に内包する条件付き独立事実が2つある： $X \perp\!\!\!\perp Y$  と  $X \perp\!\!\!\perp Y \mid (A, B)$  です<sup>3</sup>。

### 1.4 条件付き独立とd-separation。

Verma and Pearl (Pearl 1988 参照) は、非周期グラフが線形に内包する条件付き独立関係を計算するためのルールを提供した。彼らは、「d-connection」と呼ばれるある種の「パス」条件が、非周期的グラフの不連続な頂点集合の間に成り立つのは、そのグラフがそれらの頂点集合の間に条件付き独立関係を線

形に内包している場合に限られることを明らかにした。d-connection」の概念には、いくつかの予備的なグラフの定義が必要である：

**定義する：**エッジ、親、子

有向グラフにおいて、AからBへの矢印（ $A \rightarrow B$ ）をAからBへの辺と呼び、AからBへの矢印（ $A \leftarrow B$ ）、BからAへの矢印（ $B \rightarrow A$ ）はいずれもA-B間の辺と呼ぶ。

---

<sup>2</sup>  $e$ は、変数の集合を表すために太字（ $\mathbf{x}$ ）を使用する。

$X \perp Y | Z$  は、「XはZを与えられたYから独立している」という意味です。

定義する：ディレクテッドパス

における明確なエッジ  $\langle i, p_n \rangle$  列  
は、 $V_t$  から  $O_{n+1}$  への有向パス  $P$  であり、もし、 $\tilde{n}$  の  
ための頂点  $\langle V_i, V_{n+i} \rangle$  の列が存在する場合にのみ、  
 $\langle V_i, V_{i+1} = p_i, V_i \rangle$  となる。この場合、 $P$  は有向パス  $com$  という。  $V_i$  である。/o ヴ  
アン

定義する：先祖と子孫

A から B への有向パスがある場合、または  $A=B$  の場合、A は B の祖先であり、  
B は B の子孫であると言われる（したがって「祖先」は「親」関係の推移的、  
反射的閉鎖であり、同様に「子孫」「子」についても同様）。

定義する：無指向性パス

$I \cap n$  に対して、 $\langle V_i, \dots, V_{n+1} \rangle$  S.t. の頂点列が存在する場合のみ、無向パスであ  
る。

$\langle V_i, V_{i+1} \rangle = E_i$ .

定義コライダー（非コライダー） エッジまたはパスとの相対的な関係。

A と B の間、B と C の間に辺があるような3つの頂点 A、B、C があるとき、辺が  
B で「衝突」すると、これらの辺に対して B は A と C の間で「すなわち、 $A-B-C$   
C」と衝突するものとされる。

定義：d-connection

グラフにおいて、ある集合  $Z$  に含まれない異なる頂点  $X$  と  $Y$  の間の無向パス  $U$   
は、(i)  $U$  上のすべてのコライダーが  $Z$  に子孫を持ち、(ii)  $Z$  の  $U$  上の任意の頂点  $U$  が  
 $U$  上のコライダーである場合にのみ、 $Z$  が与えられたときに  $X$  と  $Y$  を  $d$ -接続する  
。

頂点  $X$ 、 $Y$ 、 $Z$  の不連続な集合に対して、 $Z$  が与えられたときに、ある頂点  $X \in X$   
 $X$  と  $Y \in Y$  を  $d$ -connect する経路があれば、 $X$  と  $Y$  は  $Z$  で  $d$ -connected という。 $Z$  が与  
えられたときに、ある頂点  $X \in X$  とある頂点  $Y \in Y$  を  $d$ -connect する経路がない場



合、 $X$ と $Y$ は $Z$ でd-separatedという。

VermaとPearlは、d-separationが、非周期的なグラフに線形に含まれる独立性と条件付き独立性の関係を正確に特徴付けることを示した：

定理（Verma and Pearl, 1990）：非周期グラフにおいて、グラフ内の不連続な頂点集合 $X$ 、 $Y$ 、 $Z$ に対して、 $X$ が $Z$ によって $Y$ から $d$ 個分離されるのは、 $X$ を線形に包含する場合のみであり、その場合は

その後、Spirtes (1995) は Haavelmo (1943) のアイデアを基に、この関係であるd-separation が、環状グラフが線形に内包する独立性をも特徴付けることを示した（同様の結果は、Koster (1994) が独立して証明した）：

定理(Spirtes)：(環状または非環状)グラフにおいて、頂点の不連続集合 $X$ 、 $Y$ 、 $Z$ に対して、 $X$ と $Y$ が $Z$ を与えられたときに $d$ 分離するのは、 $X \perp Y | Z$ を線形に内包するときだけである。

Spirtesはさらに、d-separationがゼロ部分相関の消失に対応することを示しました：

定理(Spirtes)： 共同独立誤差変数と（環状または非環状）有向グラフを持つ線形SEM  $L$ において 実体変数 $X$ 、 $Y$ 、 $Z$ を含む有向グラフで、 $X$   $\rightarrow$   $Y$  において、 $Z$ が $X$ または $Y$ を含まない場合、 $X$ は $Z$ を与えられた $Y$ から $d$ 個分離される。  $Y \rightarrow X$  の場合のみ  
 $L$ は、 $p_{X \cdot Z} = 0$  を線形に内包する。

## §2 ディスカバリー

### §2.1 ディスカバリー問題

因果構造が非可逆構造方程式モデル $M$ によって正しく記述されている集団からサンプリングされたデータが与えられたとする。データから $M$ の因果グラフを発見すること、あるいは少なくともデータから因果グラフの特徴を復元することは可能だろうか？Spirtes *et al.* (1995)では、因果グラフの特徴を発見する問題が、それが非周期的であるが、潜在変数（すなわち、少なくとも2つの測定変数の直接原因である未測定変数があるかもしれない）があるかもしれないという仮定で検討されている。ここでは、因果グラフが非周期的であるが、潜在変数が存在しないという仮定のもとで、因果グラフの特徴を発見する問題を考える。因果グラフが周期的である可能性があり、かつ潜在変数が存在する可能性がある場合の因果グラフの発見問題については、今後、研究が必要である。

標本分布から因果関係を推論するためには、確率分布と因果関係を関連付けるいくつかの公理を導入する必要がある。私が利用するのは、次の2つのサブ

セクションで説明する「因果的独立性」と「因果的忠実性」という仮定です。

## §2.2 因果的独立の仮定

因果関係と確率に関連する最も基本的な仮定は、次のようなものである：

因果的独立の仮定：AがBを引き起こさず、BがAを引き起こさず、AとBの両方を引き起こす第3の変数が存在しない場合、AとBは無相関である。

この仮定は、統計データから因果関係のある結論を導き出すことを可能にし、ランダム化実験の理論の根幹をなすものである。Aの値が無作為化された場合、実験者は無作為化装置がAの唯一の原因であることを知っている。したがって、実験者はBがAの原因ではないことを知っており、AとBの両方を引き起こす第三の変数が存在しないことを知っている。

はしない。実験集団の中でAとBが相関している場合、実験者はAがBを引き起こすと結論付けるが、これは因果的独立性の仮定を応用したものである。

この論文では、相関誤差や潜在変数のない線形SEMのみを考えるので、因果的独立性の仮定から、AとBが相関している場合、AがBを引き起こすか、BがAを引き起こす（または両方）かのいずれかである。そして、先に引用したSpirtesの定理から、あるSEMによって偏相関が線形的にゼロになることが約束されているかどうかは、関連するグラフにd-separationを適用することによって決定できることがわかります。

### §2.3 忠実性の仮定

グラフのすべての線形パラメータ化で成立するゼロ部分相関に加えて、グラフのある特定のパラメータ化でのみ成立するゼロ部分相関が存在する場合がある。例えば、図2が税率、経済、税收の関係を記述したSEMの有向グラフであるとする。

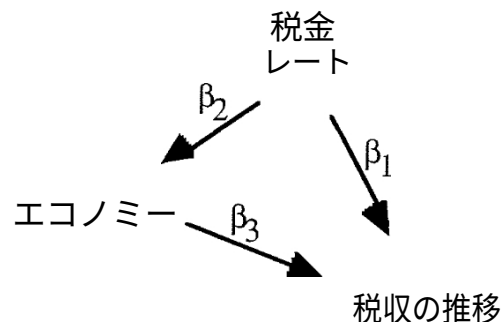


図2.経済モデル

この場合、自由パラメーターのすべての値に対して、偏相関消失制約が付随することはない。しかし、 $\beta_1 = -(\beta_2 \times \beta_3)$ であれば、税率と税收は無相関である。SEMは、税率が歳入に及ぼす直接効果（ $\beta_1$ ）と、経済を通じた間接効果（ $\beta_2 \times \beta_3$ ）を仮定している。パラメータ制約により、これらの効果は完全に相

殺され、トータルの効果は全く残らない。このような場合、母集団はそれを生成した因果構造のグラフに対して不誠実であると言われる。分布が有向グラフに**忠実**であるのは、分布においてゼロである各偏相関が、Jによってゼロであることが約束されている場合である。

**因果的忠実性の仮定：**SEMに関連する有向グラフが母集団における因果構造を正しく記述している場合、母集団分布においてゼロである各偏相関はJによってゼロであることが約束される。

忠実性の仮定は、検討するSEMを、母集団の制約がパラメータの特定の値ではなく、構造によってもたらされるものに限定するものである。もし、ある

が忠実であると仮定した場合、 $A$  と  $B$  が  $C$  で  $d$  個に分離されていなければ、 $s_{A,B,C} = 0$ , (自由パラメータのすべての値に対してゼロに等しくなるような線形的エンティジメントがないため)。変数間に決定論的な関係がある場合や、自由パラメータに等式制約がある場合は、忠実性を仮定すべきではない。忠実性の仮定はあらゆる科学で用いられており、ありえない不安定なパラメータのキャンセルが本当の因果関係を隠さないという信念にほかならない。ある理論が、特殊なパラメタリゼーションによって経験的な規則性を説明できない場合、ほとんどの科学者はその理論に不安を感じ、代替案を探します。

また、忠実性を仮定するための個人主義的なベイズ論証を行うことも可能である。任意のグラフについて、線形忠実度の違反をもたらすグラフの線形パラメータ化のセットは、すべてのパラメータ化の空間においてルベグ測度ゼロである。したがって、パラメータに対する事前確率がルベグ測度で絶対連続であるベイズ学者は、忠実性の違反にゼロの事前確率を割り当てる。もちろん、この議論は、ルベグ測度に対して絶対的に連続ではない事前分布をパラメータに置き、忠実性の違反にゼロでない確率を割り当てるベイズアンには関係ない話である。

忠実性の仮定は、第3節で説明したCyclic Causal Discovery (CCD) アルゴリズムの漸近的正しさを保証するものである。しかし、有限サイズのサンプルにおいて、このアルゴリズムが信頼できることを保証するものではない。

因果的独立性の仮定、潜在変数がないという仮定、線形性の仮定、因果的忠実性の仮定を考えると、次のようになる。

有向グラフ  $P_{X,Z} = 0$  で表される因果構造によって生成される分布  $P$  は、 $J$  において  $X$  が  $Z$  を与えられた  $Y$  から  $d$  分離している場合に限り、 $0$  となる。した

がって、ゼロ部分相関の統計的検定が可能であれば、この情報を利用して、 $J$ の  $d$  分離関係についての結論を導き出し、できるだけ多く再構成することができる。

可能な限り今後、 $d$ -separation関係から特徴を再構築することと、ゼロ偏相関から特徴を再構築することは、私の仮定からすると同等であるため、同じように話す。

もちろん、 $d$ -separation関係の数は、グラフの変数数に対して指数関数的に増加する。したがって、すべての $d$ -separation関係の集合の部分集合から、その特徴を発見することが重要である。次節で説明するCCDアルゴリズムは、特徴を再構築ために必要な $d$ -分離関係の部分集合を、その都度選択する。したがって、 $J$ の $d$ -分離関係に関する質問に正しく答える $d$ -分離オラクルにアクセスできるものと仮定する。

の相関は、因果グラフJに関して因果的独立性と因果的忠実性の仮定を満たす集団ではゼロである(このアルゴリズムは、d分離オラクルが利用可能なあらゆる分布に対して正しいが、そのようなオラクルが知られている唯一のケースは、グラフが環状の場合、線形ケースである)。

## §2.4 出力表現 - 部分祖語グラフ (PAGs)

一般に、d-separation関係の情報だけでは、一意なグラフを再構築することは不可能である。したがって、有向（環状または非環状）グラフはd-分離同値類に分割することができる：

### 定義する： $\text{Equiv}()$

2つの有向グラフJ, \*は、両者が同じ独立性と条件付き独立性のセットを線形に内包している場合、等価であるという。あるグラフと等価な有向グラフの集合を  $\text{Equiv}()$  で表す。

Richardson(1994b,1995)は、2つのグラフが互いにd-分離等価であることを決定するための多項式時間アルゴリズムを提示している。(なお、より強い等価性の意味として、あるグラフの線形パラメータ化によって記述されるすべての分布が他のグラフの線形パラメータ化によっても記述できるとき、またその逆のときに成り立つ2グラフ間の線形統計同値が存在する。非周期グラフの場合、d-separation equivalenceは線形統計的等価性と等価であることが知られているが、周期グラフの場合、そうであるかどうかはわかっていない)。

$\text{Equiv}()$ のメンバーは常にある共通した特徴を持っている。ここで、ある一定の、について、 $\text{Equiv}()$ のすべてのグラフに共通する特徴を表現するための形



式を紹介します。PAGは拡張グラフであり、頂点 $V$ の集合、頂点間の辺の集合、辺の終点の集合（各辺に2つずつ、集合 $(o, -, >)$ から選ばれる）からなる。また、辺の端点のペアは、下線、または点線下線によって接続することができる。PAGのセマンティクスを提供する以下の定義では、 $(o, -, >)$ のいずれかが存在することを示すメタシンボルとして、 $'*'$ が使用されている。

## 定義する： パーシャル・アンセストラル・グラフ(PAG)

'I'は頂点集合Vを持つ有向環状 グラフのPAGであり、以下の場合にのみ成立する。

- (i) 任意の部分集合  $WW(A,B)$  においてAとBがd-connectedである場合に限り、'I'においてAとBの間にエッジが存在する。
- (ii)  $P, A \rightarrow B$ にAから出る（Bに出るとは限らない）辺がある場合、 $\text{Equiv}()$ のすべてのグラフにおいて、AはBの祖先である。
- (iii)  $P, A \rightarrow B$ にBへの辺がある場合、 $\text{Equiv}()$ のすべてのグラフにおいて、BはAの祖先ではない。
- (iv) 'I'に下線  $A \rightarrow B \rightarrow C$  がある場合、Bは $\text{Equiv}()$ のすべてのグラフにおいてAまたはCの（少なくとも1つの）祖先となる。
- (v) AからBへ、CからBへの辺がある場合、 $(A \rightarrow B \rightarrow C)$ 、Bの矢印の頭は点線の下線で結ばれ、したがって  $A \rightarrow B \rightarrow C$ 、 $\text{Equiv}()$ のすべてのグラフでBがAおよびCの共通の子の子孫でない場合にのみ。
- (vi) 上記のいずれかの方法でマークされていないエッジの端点は、小さな円が残されます

このように：  $o \rightarrow$ 。

条件(i)が他の5つの条件と異なるのは、ある記号（この場合は辺）がPAGに現れるための必要条件と十分条件を $\text{Equiv}()$ に与えていることであることに注意されたい。他の5つの条件は、単に必要条件を述べているだけである。このため、1つのグラフに対して、実際には多くの異なるPAGが存在する。これらはすべて同じ辺を持つが、必ずしも同じ終点を持つとは限らない。また、PAGの中には、エッジの末尾のoが少ないなど、因果構造に関する情報が多いものもある<sup>4</sup>。しかし、私が紹介する発見アルゴリズムが出力するPAGは、特定のPAGが記述する特徴を持つグラフがすべて1つのd分離同値類に属することを保証するのに十分な情報を提供します。

定義中のすべての節は $\text{Equiv}()$ にのみ言及しているので、'I'がDirected Cyclic

Graph,  $J^*e \text{Equiv}()$  のPAGであれば、'Pも'のPAGであることがわかる。これは、発見アルゴリズムの出力として、PAGは同値クラス内のすべてのグラフに共通する特徴を表すように設計されているので、驚くべきことではない。したがって、アルゴリズムによって生成されたPAG 'Pは、ユニークな d-separation 同値クラスを表す。

つまり、ある同類項内のすべてのグラフに共通する特徴があり、他の同類項内のすべてのグラフには当てはまらないということです。

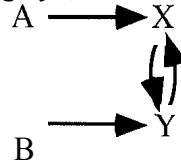
---

4あるPAGが辺の端に'>'を持つ場合、同じグラフの他のPAGはその場所に'>'か'o'を持つ。同様に、あるPAGが辺の端に'-'を持つ場合、他のPAGはその場所に'-'か'o'を持つことになる。

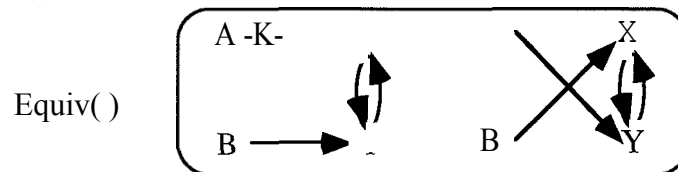
の同値クラスがあり、この違いはその同値クラスを表すPAGの違いで表すことができる。

例

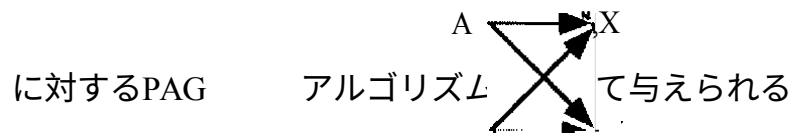
と すると、次のようになります：



この場合、**Equiv()**が2つのグラフを含む（だけ）ことを示すことができる：



の条件付き独立性事実を決定するオラクルを入力として与えられた発見アルゴリズムが出力するPAGは、 で：

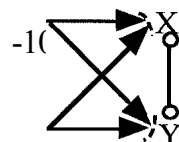


PAGが**Equiv()**について以下の事実を教えることを観察してください：

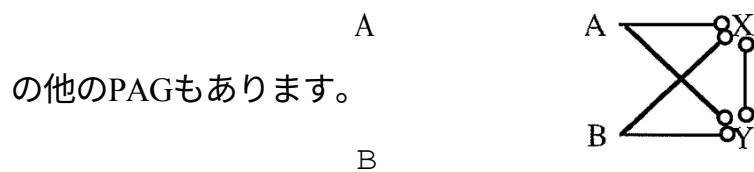
- (a) **Equiv()**のすべてのグラフにおいて、XはYの祖先であり、YはXの祖先である。
- (b) **Equiv()**のどのグラフも、XやYがAやBの祖先にはなっていない。
- (c) **Equiv()**のすべてのグラフにおいて、AとBの両方がXとYの祖先である。

PAGのすべての辺が**Equiv()**のすべてのグラフに現れるわけではないことに注意。これは、PAGの辺は、その辺で結ばれた2つの変数が、他の変数の任意の部分集合を与えられたときにd-connectedであることだけを示すからである。

この例は、アルゴリズムが与えるPAGが'o'の端点を含まないという点で非典型的であるが、PAGがいかに多くの情報を提供するかを示すものである。情



報量は少ないが、次のようなものもPAGであることに注意されたい：




---

5これは網羅的なリストではない。例えば、A-rXとB-rXのエッジの矢印を結ぶ点線の存在は、**Equiv(J)**のどのグラフにもこれらのエッジの両方が存在しないことを教えている。同様にB-rY、およびA-rYのエッジの矢印を結ぶ点線。  
 \*前掲の脚注をご参照ください。

同値クラスのすべてのグラフに共通する特徴で、アルゴリズムが出力する PAG では捉えられないものがあるかもしれないからだ。この意味で、このアルゴリズムは完全ではない。しかし、このアルゴリズムは、2つの異なるグラフに対する条件付き独立性の試行が、アルゴリズムに同じ PAG を出力させる場合、2つのグラフは d-separation 同等であるという意味で「d-separation complete」であり、すなわち、試行は常に同じ答えを与える。このことは、CCD アルゴリズムを拡張して、より情報量の多い PAG を生成するようにしても、d-separation オラクルをさらに参照する必要がないことを意味する。つまり、アルゴリズムが出力する PAG を見れば、潜在的な問い合わせに対する答えはすでに（多項式時間で）推測することができる。

### §3 巡回グラフの発見アルゴリズム(潜在能力なし)

アルゴリズムを述べる上で、2つの細かい定義が必要です：

定義：PAG 内の p-adjacent (隣接)

PAG の2つの頂点  $X$  と  $Y$  は、それらの間にエッジがある場合、*p-adjacent* となる、 $PAG.^*$  の  $XY$

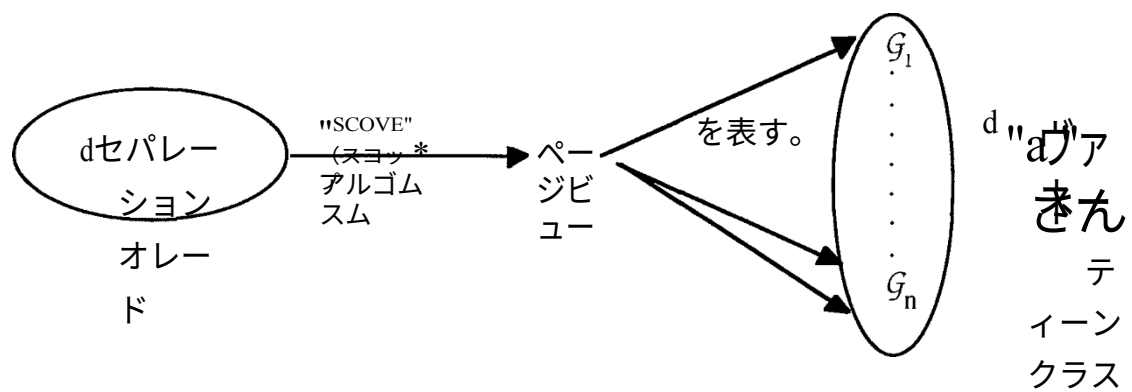
**定義する：** 隣接度( $I, X$ )

PAG  $I$  の場合、 $Adjacencies(I, X)$  は、 $I$  にエッジ  $X-Y$  が存在する場合に、変数  $Y$  のセットを与える関数である。

$I$  はアルゴリズムの進行に伴って変化するアルゴリズム内の動的オブジェクトであり、したがって  $Adjacencies(I, X)$  もアルゴリズムの進行に伴って変化する。

周期的因果関係発見 (Cyclic Causal Discovery: CCD) **アルゴリズム**

ディスカバリーの全体的な戦略を以下に示します：



ここで、他の場所と同様に、3つの末端-, o, >のいずれかを示すメタシンボルとして「\*」を使用する。

## CCDアルゴリズム

入力：形式の質問に答えるためのオラクル："XはYからd個分離されているか"  
(X,Y ∈ Z)をグラフにした 集合Zが 与えられたとき.

出力する： に対するPAG.

QA a) 完全な無向きのPAG 'P'を形成する、すなわち、変数AとBの各対に対し  
て、 'P'は辺A noBを含む。

b)  $n = 0$ .

繰り返す

繰り返す

Adjacencies('I',X)X(Y) の頂点の数が  $n$  以上となるような 'P' に  
おいて  $p$  個隣接する変数  $X$  と  $Y$  の順序ペアを選択する；  
繰り返す

の部分集合Sを選択し、Adjacencies('I',X)X(Y)の頂点が $n$ 個で  
あることを確認する；

$X$ と $Y$ が $S$ で $d$ 分割されている場合、 $T$ からエッジ $X$

no $Y$ を削

除 し、

Sepset( $X,Y$ )= $S$ 、Sepset( $Y,X$ )= $S$ に設定する；

$n$ 個の頂点を持つAdjacencies('I',X)X(Y)のすべての部分集合 $S$   
が選択されるか、 $S$ を与えられた $X$ と $Y$ が $d$ 分割されるような  
部分集合 $S$ が見つかるまで；

Adjacencies('I',X)X(Y) が  $n$  個以上の頂点を持つような  $p$  個の隣接頂  
点  $X$  と  $Y$  の順序付きペアがすべて選択されるまで；  
 $n=n+1$ である；



p個隣接する頂点X,Yの各順序ペアについて、Adjacencies(l,X)X(Y}がn個以下の頂点になるまで。

QB 頂点A,B,Cの各三重項において、ペアA,BとペアB,CがそれぞれPにおいてp隣接し、ペアA,Cが1においてp隣接しない場合、A\*-B\*-CをA->として方向付ける。BがSepset<A,C>にない場合のみ、A\*-B\*-CをA\*-B\*-Cとする。

$\Gamma\{C$ 。  $\Gamma$  の頂点  $\langle A, X, Y \rangle$  の各三重項について、以下のようなものがある。

- (a)  $A$  は、「 $P$ 」において  $X$  または  $Y$  に  $p$  隣接しない。
- (b)  $X$  と  $Y$  は  $P$  において  $p$ -adjacent である。
- (c)  $X \in \text{Sepset}\langle A, Y \rangle$
- (i) もし、 $\text{Sepset}\langle A, Y \rangle$  ならば セブセット  $\langle A, X \rangle$  ならば、 $X \leftarrow Y$  として  $X \rightarrow^* Y$  を方向づける。
- (ii) その他、 $\text{Sepset}\langle A, X \rangle$  が  $\text{Sepset}\langle A, Y \rangle$  の部分集合でない場合、 $\text{Sepset}\langle A, Y \rangle$  が与えられて  $A$  と  $X$  が  $d$ -connected であれば  $X \leftarrow Y$  として  $X \rightarrow^* Y$  を方向づける。

$P$  の各頂点  $V$  について、以下の集合を形成する：  $X \in \text{Local}(P, V)$  は、 $X$  が  $\Gamma$  において  $V$  に  $p$  隣接するか、 $\Gamma$  において  $X \rightarrow Y \leftarrow V$  となるような頂点  $Y$  が存在する場合のみである。 ( $\text{Local}(P, V)$  は各頂点  $V$  に対して 1 回計算し、アルゴリズムの進行に応じて変化しない)。

$m = 1$ .

くり返す

くり返す

$A \rightarrow B \leftarrow C$  であるが、 $A$  と  $C$  が  $p$  隣接しておらず、 $\text{Local}(P, A) \cap \text{Local}(P, C) \setminus \{B, C\}$  が  $m$  以上の頂点を持つような順序付き三重項  $\langle A, B, C \rangle$  を選ぶ。

くり返す

$m$  個の頂点を持つ集合  $T = \text{Local}(P, A) \cap \text{Local}(P, C) \setminus \{B, C\}$  選択;  $A$  と  $C$  が  $T$  で  $d$  個に区切られている場合 セブセット  $\langle A, C \rangle$  の

$\{B\}$  であれば、 $A \rightarrow B \leftarrow C$  の三重項を  $A \rightarrow \& \leftarrow C$  として方

向づけ、 $T\text{Sepset}\langle A, C \rangle \{B\}$ を  $\text{SupSepset}\langle A, B, C \rangle$   
に記録します。

$m$  個の頂点を持つすべての部分集合  $T$   
 $\text{Local}(F, A) \times (\text{Sepset}\langle A, C \rangle (B, C))$  が選択されるか、 $A$ および  
 $C$ に対する $d$ 個の分離集合が $\text{SupSepset}\langle A, B, C \rangle$ に記録される  
まで。

$A \rightarrow B \leftarrow C$ 、（すなわち $A-C$ ではない）、 $A$ と $C$ が $p$ 隣接しておらず  
、 $\text{Local}(P, A) \times (\text{Sepset}\langle A, C \rangle (B, C))$  が $m$ 以上の頂点を持つ三角形  
がすべて選択されるまでです。

$m = m + 1$ である。

$A \rightarrow B \leftarrow C$ だが $A$ と $C$ が $p$ 隣接しないような順序付き三重項 $\langle A, B, C \rangle$ が、  
 $\text{Local}(F, A) \times (\text{Sepset}\langle A, C \rangle (B))$  が頂点数 $m$ 未満となるようなものであ  
るかどうか。

.となるような異なる頂点を持つ四重極 $\langle A, B, C, D \rangle$ が存在する場合。

(i)  $A \rightarrow B \leftarrow C$ で「1」。

(ii)  $A \rightarrow D \leftarrow C$  または  $A \leftarrow F \rightarrow C$

(iii) BとDは「P」においてp-adjacentである。

Dが  $\text{SupSepset}\langle A, B, C \rangle$  にない場合、 $B^* \rightarrow D$  を  $B \rightarrow D$  として '1' に

方向付ける else Dが  $\text{SupSepset}\langle A, B, C \rangle$  にある場合、 $B^* \rightarrow D$  を

$B^* \rightarrow D$  として 'P' に方向付ける

.となるような異なる頂点を持つ四重極 $\langle A, B, C, D \rangle$ に対して

(i) 1」の  $A \rightarrow B \leftarrow C$ 。

(ii) Dは、「P」において、AおよびCの両方にp隣接しない。

(iii) BとDは「P」においてp-adjacentである。

もしAとCがd-connected与えられた $\text{SupSepset}\langle A, B, C \rangle$  (D) ならば $B^* \rightarrow D$ を $B \rightarrow D$

として'P'で方向付ける。

### §3.2 健全性と完全性 定理1 (健全性)

入力として、(環状または非環状) グラフJにおけるd分離関係のオラクルが与えられたとき、次のようになります。

のPAG '1'を出力します。

に適用されるd-separationオラクルの答えから、アルゴリズムの各セクションが正しい推論を行うことを示すことにより、定理1を証明する。証明はセクション5で行われる。

実際には、d-separation oracleの近似は、対応する偏相関が消失する統計的検定として実装することができます。サンプルサイズが際限なく大きくなるにつれて、統計的検定の有意水準を系統的に下げれば、その検定のタイプIとタイ

ブIIの両方の誤りの確率がゼロに近づき、統計的検定は確率1で正しいことになる。もちろん、これはCCDアルゴリズムが現実的なサンプルサイズにおいて信頼できることを保証するものではない。アルゴリズムの信頼性は、以下の要因に依存します：

1. Causal Independence Assumptionが成立しているかどうか（潜在変数がないかどうか）。
2. Causal Faithfulness Assumptionが成立するかどうか。
3. 統計的検定が行う分布の仮定が成り立つかどうか。
4. 代替案に対する統計的検定の検出力。
5. 統計的検定で使用した有意水準。

今後は、これらの要因に対するアルゴリズムの感度を、シミュレーションデータで検証していきたいと考えています。

## 定理2 (d-separationの完全性)

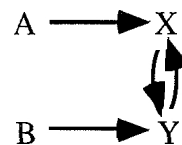
CCDアルゴリズムが、グラフJのd個の分離オラクルを入力として与えられたとき、 $PAG_{+i+2}$ をそれぞれ出力として生成する場合、 $+i$ は以下の場合にのみ、 $+2$ とは同一である。

と  $J$  はd-separation equivalent、すなわち  $Equiv(J)$  であり、逆もまた然りである。

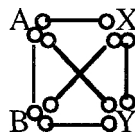
この証明は、先に述べたRichardson (1994b)の同値性の特徴づけに基づいている。(定理1から直接、andが等価であれば $+i$ は' $P_2$ 'と同一であることが導かれる)。

### §3.3 CCDアルゴリズムの軌跡

次のグラフのd分離オラクルを入力とした場合のアルゴリズムの動作を説明する：

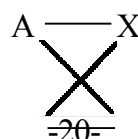


初期完全無向性PAG「P.



セクションA：

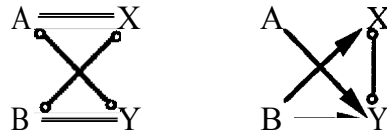
A,Bは空集合でd分割されているので、アルゴリズムはA,B間の辺を取り除き、 $Sepset\langle A,B \rangle = Sepset\langle B,A \rangle = \emptyset$ を記録します。これはこのグラフにおいてp隣接しない唯一の頂点ペアなので、 $\$A \setminus P$ 以降は次のようになります：



B Y

## セクション§B

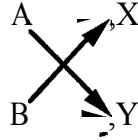
$X \in \text{Sepset}(A, B)$ 、 $Y \in \text{Sepset}(A, B)$ なので、 $A \perp\!\!\!\perp B$ 、 $A \perp\!\!\!\perp Y \perp\!\!\!\perp B$ はそれぞれ $A \rightarrow X \leftarrow B$ 、 $A \rightarrow Y \leftarrow B$ という向きになる。したがって、 $\$B$ は次のような配向を行う：



セクション 'J|C - この場合、オリエンテーションは行いません。

## セクションD

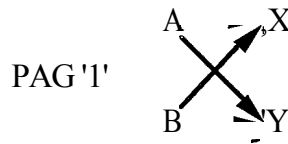
A,Bは(X,Y)でd分割されているので、アルゴリズムは $\text{SupSepset}\langle A,X,B\rangle = \text{SupSepset}\langle A,Y,B\rangle = (X,Y)$ を記録し、 $A \rightarrow X \leftarrow B$ を $A-X-B$ 、 $A \rightarrow Y \leftarrow B$ を $A-Y-B$ として方向づけする。したがって、\$Dの後、PAG 'I'は次のようになる：



## セクション

四重極 $\langle A,B,X,Y\rangle$ は、(i)  $A-X-Y-B$ , (ii)  $A-Y-Y-B$ , (iii) XとYが $p$ 隣接するように、\$E項の条件を満たしている。  $Y \in \text{SupSepset}\langle A,X,B\rangle$ なので、辺 $X \rightarrow Y$ は $Y \rightarrow X$ のように向きを変える。  $X \in \text{SupSepset}\langle A,Y,B\rangle$ なので、この辺はさらに $Y-X$ のように向きを変える。

Section - この場合、オリエンテーションは行わないので、出力されるPAGは次のようになります：



## §3.4 CCDアルゴリズムの複雑さ

$\text{MaxDegree}(J) = \text{Max}_J |X \cap Y| - X$ 、またはJJのXYとする、  
であり、 $\text{MaxAdj}(J) = \text{Max}_{Y \in V} |X \cap Y|$ は、JJの任意のPAGにおいてYに $p$ -隣接する。

CCDアルゴリズムのステップ\$Aで実行されるd-分離テストの数は、最悪の場合、次のように制限されるでしょう。

$$\text{Aにおけるオラクル} \quad 2^{n-2J} \leq \frac{(k+1)n^{kn-2})^{k+1}}{k!}$$

相談の総テスト数

ここで、 $n=J$ の頂点の数、 $k=\text{MaxAdj}(J)$ 。  
 $\text{MaxAdj}(J) (\text{MaxDegree}(J)^2)$ なので、 $\text{MaxDegree}(Q=r)$ を使えばこのステップは $O(n^{k+1})$ となります。最悪の場合の複雑さの境界としても、これは非常に緩い



ものであることを強調しておく。この境界は、グラフ内の $p$ 隣接していない頂点のすべてのペアが、それらの一方に $p$ 隣接するすべての頂点から $d$ だけ離れているグラフが存在することを仮定しているのである。

ステップBでは、 $d$ -separationの追加テストは行いません。

ステップCは、与えられた条件を満たす各トリプルに対して、最大で1つの $d$ 分離テストを実行する。したがって、このステップは $O(n^3)$ である、

最悪の場合、ステップDが実行する $d$ 分離のテスト数は、次のように制限されます。

の合計数です。

$$3 \cdot \sum_{i=0}^n \binom{n-3}{i} < \frac{(m+1)^{n-3}}{m!}$$

Dでオラクル相談

ここで、 $m = \max_j |Local(P, X)|$  は  $\mathcal{D}$  にある。  $m \leq (MaxDegree(P) + 1) \cdot n$  (彼のステップでは、 $O(n^4)$ )。から

今回もルーズバインドです。

ステップEではd分離のテストは行わず、ステップFでは条件を満たす各4重極に対してせいぜい1回のテストを行う。したがって、このステップは  $O(n^4)$  である（ただし、多くのグラフでは、4つの条件をすべて満たす四重極はごくわずかである可能性がある）。

### §3.5 部分祖先グラフ(PAG)と傍系誘導パスグラフ(POIPG)

ここで紹介する拡張グラフ（Partial Ancestral Graphs）は、Spirtes の Partially Oriented Inducing Path Graphs（POIPGs）で使用される記号のスーパーセットを使用するが（Spirtes *et al.*, 1993参照）、辺に与えられる方向のグラフ解釈は異なる<sup>8</sup>。PAGの構造を定式化した後、私は、潜在変数と選択バイアスの存在下で因果推論を行うSpirtesのFCIアルゴリズム（Spirtes、Meek and Richardson 1995参照）の出力は、POIPGであるが、直接PAGとして解釈できるのではないかと考えた。その後まもなくSpirtesはこの推測を証明し、現在ではFCIアルゴリズム出力のPAG解釈を採用している<sup>9</sup>。

Spirtesの結果の直接的なCorollaryとして、PAGは潜在変数を持つ有向acyclicグラフのd-separation equivalence classを表現するために使用できることが挙げられる。<sup>10</sup> 潜伏変数を持つ環状グラフのクラスを表現できるほど記号の集合が豊富であるかどうかは未解決の問題である。

### §4 d-セパレーション 同等性

CCDアルゴリズムはd-separation completeであるため、このアルゴリズムに含まれる方位規則を用いて、d-separation equivalenceアルゴリズムを構築するこ

とができる。以下に、有向環状

グラフまたは無向

グラフを

入力として与える

と、CCDアルゴリズムがd-separationオラクルだけを与えて出力するのと同じPAGを出力するアルゴリズムを紹介する。ただし、このアルゴリズムはCCDアルゴリズムと異なり、MaxDegree(J)を固定しない場合でも頂点数の多項式時間で実行する。したがって、このアルゴリズムは、2つのグラフのd-separationの等価性を多項式時間でテストするために使用することができる。

---

\*具体的には、PAGでは辺 $A \leftarrow^* B$ のA端にある矢印の頭が、同値クラスのどのグラフでもAがBの祖先ではないことを意味するのに対し、POIPGではSpirtesがA-B間の誘導経路と呼ぶものの方向に関する情報を示す。

9この証明の多くのステップは以前に証明されている。

*et al.*, 1994.

10実際には、PAGに存在する記号のサブセットで十分である。 $A \rightarrow B$ が $M$ が内包する条件付き独立性は、潜在変数の有無にかかわらず、有向無サイクルグラフでは内包されないのである。

**定義する：** 親(X)、子(X)、アン(X)、子孫(X)

$\text{Parents}(X) = \{V \mid V \text{は} Q \text{における} X \text{の親}\}$ ,  $\text{Children}(X) = \{V \mid V \text{は} J \text{における} X \text{の子}\}$ ,  $\text{An}(X) = \{V \mid V \text{は} Q \text{における} X \text{の祖先}\}$ , および  $\text{Descendants}(X) = \{V \mid V \text{は} Q \text{における} X \text{の子孫}\}$  であり、 $V$ は $Q$ における $X$ の子孫である。

巡回型PAG-From-Graphアルゴリズム

**入力** 有向環状グラフまたは無向環状グラフ

**出力する：** CCD PAG 「F for

a 頂点集合 $V$ の各頂点のペア間にエッジ $o-o$ を持つ完全無向性PAG 'Pを形成する。

各頂点の順序付きペア $\langle A, B \rangle$ について、次のような集合を形成する：

$\text{SA}, \text{B}' = \text{Children}(A) \cup \text{An}((A, B))$

$\text{TA}, \text{B} = (\text{親}(\text{SA}, \text{B}) \cup (A)) \cup \text{Descendants}(\text{Children}(A) \cup \text{Children}(B)) \cup (A, B)$

各順序付きペア $\langle A, B \rangle$ について：

$\text{TA}, \text{B}$ inが与えられたとき、 $A$ と $B$ が $d$ 個に分離されている場合  $d$ が与えられたとき、 $\text{TA}, \text{B}$ inの $\text{Sepset}\langle A, B \rangle$ と $\text{Sepset}$ を記録する。

$\langle B, A \rangle$ を削除し、エッジ $ABB$  を'F'から削除する。

else もし $A$ と $B$ が $\text{TB}, \text{A}$ inで  $d$ 個に分かれるなら、 $\text{TB}, \text{A}$ in

$\text{Sepset}\langle A, B \rangle$ と $\text{Sepset}\langle B, A \rangle$ を記録し、エッジ $Ao-oB$ をFから削除する。

b 頂点 $A, B, C$ の各トリプルで、ペア $A, B$ とペア $B, C$ がそれぞれ $P$ において $p$ 隣接するが、ペア $A, C$ が $P$ において $p$ 隣接しないものについては、 $B$ が $\text{Sepset}\langle A, C \rangle$ にない場合のみ $A^* \cdot B^* \cdot C$ を $A \rightarrow$ として方向付ける。 $B$ が $\text{Sepset}\langle A, C \rangle$ にない場合のみ、 $A^* \cdot B^* \cdot C$ を $A^* \cdot B^* \cdot C$ とする。

'JJc' Pの頂点 $\langle A, X, Y \rangle$ の各トリプルが以下のような場合。

(a) Aは、「P」においてXまたはYにp隣接しない。

(b) XとYはPにおいてp-adjacentである。

(c)  $X \in \text{Sepset}\langle A, Y \rangle$

$\text{Sepset}\langle A, Y \rangle$ が与えられ、AとXがd-connectedである場合、Orient  $X \rightarrow Y$  as  $X \leftarrow Y$

\$d\$  $A \rightarrow B \leftarrow C$ , AとCがp隣接しないような三重項 $\langle A, B, C \rangle$ または $\langle C, B, A \rangle$ について、次の集合を形成せよ：

$QA, B, C$  子供(A) アン((A, B, C))

$RA, B, C =$  (親 ( $QA, B, C$  (A))  $QA, B, C$ )X(Descendants(Children(A) mChildren(C)))  
(A, C)である。)

$RA, B, C$  (B)でAとCがd個に分かれる場合、 $A \rightarrow B \leftarrow C$ をA-Cとして  
方向づけ、 $R, B, C$  (B) in  $\text{SupSepset}\langle A, B, C \rangle$ 記録します。

$\exists e$  以下のような異なる頂点の四重極 $\langle A, B, C, D \rangle$ が存在する場合。

- (i)  $A \rightarrow B \leftarrow C$ で「P.
- (ii)  $A \rightarrow D \leftarrow C$ または $A \rightarrow D \leftarrow C$ で「F、
- (iii) BとDはTにおいてp-adjacentである、

で、Dが $\text{SupSepset}\langle A, B, C \rangle$ になれば $B * m D$ を $B \rightarrow D$ としてTに方向づける else Dが $\text{SupSepset}\langle A, B, C \rangle$ にあれば $B * -o D$ を $B * -D$ としてTに方向づける。

f 以下のような異なる頂点を持つ各四角形 $\langle A, B, C, D \rangle$ について。

- (i) P "の $A \rightarrow B \rightarrow C$
- (ii) Dは、「I」において、A及びCの双方にp隣接していない。

$\text{SupSepset}\langle A, B, C \rangle$   $\rightarrow (D)$ が与えられたとき、AおよびDがd-connectedであれば、 $B * -o D$ をBとして方向づける。

T'で $\rightarrow D$ 。

このアルゴリズムが正しいという証明は省略するが、CCDアルゴリズム自体が正しいという証明と非常によく似ている。2つのアルゴリズムの主な違いは、CCDアルゴリズムがSepsetとSupSepsetの集合を探索し、多くの異なる候補をテストしなければならないのに対し、PAG-from-graphアルゴリズムは、グラフそのものがあれば、これらの集合を構成するというはるかに単純なタスクに直面することにある。

定理2により、2つのグラフ $\epsilon$ を入力とすると、 $\epsilon$ と $\epsilon'$ がd-separation同等である場合に限り、CCDアルゴリズムは同じPAGを出力として生成するので、上で与えられたアルゴリズムは、2つの有向グラフのd-separation同等性を決定する手続きを提供する。さらに、このアルゴリズムは複雑さ $O(n^7)$ であり、nはグラ

フの頂点の数である。このアルゴリズムは、Richardson(1994b)で示された  $O(n^9)$  の手順よりも大幅に高速である。

、PAG-from-graphアルゴリズムの入力として有向環状グラフ が提供さ  
、アルゴリズムの実行から、Jとd-separation同等な有向非環状グラフが存在す  
るかどうかを知ることもできる：ステップ\$c-f\$が配向を行わない場合にのみ

、 Ifと同等のDAG d-separationは存在する。これは、  
\$c-f\$のルールが持つd-separation関係の組み合わせが、\$c-f\$のルールが持つd-  
separation関係の組み合わせと一致することから導かれる。

は、どのDAGにも内包されない (Richardson 1994, 1994b参照) 。

## §5 証明

### §5.1 定理1の証明

定理1: (健全性) 有向 (環状または非環状) グラフ  $G$  における  $d$  個の分離関係をテストするためのオラクルが入力として与えられたとき、出力は  $J$  に対する  $PAG' P$  である。

証明する。証明は、CCDアルゴリズムの各セクションが、 $J$  の  $d$ -separation オラクルから  $Equiv(J)$  の任意のグラフの構造への正しい推論を行うことを示すことによって進められる。

### セクション A-B

#### レマ1

グラフ  $J$  の  $PAG' P$  が与えられたとき、以下のうち少なくとも1つが成立すればよい:

- (i)  $X$  が  $Y$  の親である、または
- (ii)  $Y$  が  $X$  の親である、または
- (iii)  $X$  と  $Y$  の両方の子である頂点  $Z$  があり、 $Z$  が  $X$  か  $Y$  のどちらか (または両方) の祖先であるようなものであること

その他の頂点の部分集合  $Sql(X, Y)$  があれば、 $X$  と  $Y$  は  $J$  で  $p$ -adjacent、すなわち  $d$ -connected である。

証明する: (i) が成立する場合、任意の部分集合  $Sql(X, Y)$  が与えられると、経路  $XmY$  は  $X$  と  $Y$  を  $d$ -連結し、したがって  $X$  と  $Y$  はグラフ  $J$  の任意の  $PAG' P$  において  $p$ -隣接する。(ii) が成り立つ場合も同様につまらない。

もし (iii) が成り立つなら、 $X$  または  $Y$  の祖先である  $X$  と  $Y$  の共通の子 ( $Z$ ) が存在



する。したがって、 $X_m Z_m A\}$  という有向パスが存在する。 $M \dots A_n Y$  ( $n \geq 0$ )、または有向パス  $Y_w Z_m A_1 \dots$  が存在する。 $A_n$  のいずれかである。一般性をあまり損なわずに、前者であると仮定する。他の変数の任意の部分集合を  $S$  とする ( $\text{Set}(X, Y)$ )。考えるべきは2つのケースである：

ケース1:  $S = (Z, A_1 \dots A_{n-1} - \emptyset)$ ；この場合、 $X M Z \vdash Y$  は  $d$ -connecting path である。

ケース2:  $S = (Z, A_1 \dots A_n)$ ；then  $X_m Z_m A\} M \dots A_n Y$  は  $d$ -connecting path である。..

## レマ2

頂点  $V$  を持つグラフ  $J$  において、次のようなホールドル。

- (i) において、 $X$  は  $Y$  の親ではない。
- (ii)  $Y$  は  $X$  の親ではない、とのこと。
- (iii)  $Z$  が  $X$  と  $Y$  の共通の子であり、 $X$  または  $Y$  の祖先である場合、頂点  $Z$  は存在しない。

---

<sup>11</sup>i.e. レマ1の先行詞の条件はいずれも成立しない。

とすると、任意の集合Qに対して、XとYは次のように定義されるTが与えられるとd分離される：

$S = \text{チルドレン}(X) \cup \text{祖先}((X, Y) \cap Q)$

$T = (\text{Parents}(S) \cup \{X\}) \cup \{Y\}$  (子孫 (X, Y) である子供 (X)  $\cap$  Children (Y) ) 。

。

証明する：Tのすべての頂点はXの親、Sの頂点、Sの頂点の親のいずれかであり、したがって、Tのすべての頂点はXまたはYまたはQの祖先である。

逆にTが与えられてXとYを結ぶパスdが存在するとする。

XからYへの経路上の最初の頂点をWとする（WAYは(i)と(ii)から成り立つ）。考えるべきケースは2つある：

ケース1：パスには $X'-W \dots Y$ が含まれる。

小ケースA：Wは、XとYの共通の子の子孫ではない。

Wが共通の子の子孫でない場合、 $W \in T$ （WはXの親であるため）。したがって、Wはパス上の非共有物であるので、T小ケースB：WはXとYの共通の子の子孫であることを考えると、パスはd-connectingでない。

この場合、XはWの子であるから、XはXとYのある共通の子Zの子孫であることになるが、これは③が成立するという仮定に反する。

ケース2：パスには $X \dots W \dots Y$ が含まれている。

小ケースA：WはXとYの共通の子の子孫ではない。パス上の次の頂点をVとする。

サブサブケースa. パスは $X'-W \dots V \dots Y$ を含む。

このパスがd-connectingである場合、Wの子孫はTにいるが、Wの子孫は

XまたはYまたはQの祖先である。

Q.したがって、Wの何らかの子孫がTにいれば、WはSにいることになる。  
さらに、Wは（仮説により）共通の子の子孫ではないので、 $V \vdash Y$ .

また、Vは共通の子の子孫ではない。なぜなら、その場合、仮説に反して、Wも共通の子の子孫になるからである。 $X \vee Y$ , so  $V \vdash T$ . したがって、Vは非共役として発生するが、 $V \vdash T$ , したがって、Tが与えられるとパスはd-connectに失敗する。

小項目b: パスには $X \vee W \vee V \dots Y$ が含まれる。

しかし、WがTのある頂点の祖先である場合、Tのすべての頂点はX、Y、Qの祖先であるため、WはX、Y、Qの祖先である。したがって、 $W \vdash S$ は、Wは（仮説により）XとYの共通の子の子孫ではなく、 $X \vee W \vee Y$ ,  $W \vdash T$ であるから、Wはこのパス上の非共役として発生する。

は、 $T$ が与えられたとき、 $X \rightarrow W \rightarrow V \dots Y$ のどのパスもd-connectに失敗することになる（これは、 $V=Y$ の可能性を許容する）。

サブケースB:  $W$ は共通の子の子孫である。

したがって、Descendants ( $W$ )  $T = \emptyset$ 、 $W$ の子孫は $X$ と $Y$ の共通の子の子孫でもあるので、 $T$ には出現しない。

$W$ の子孫は条件付けされていないので、 $W$ がd-connecting path上に発生する場合、 $W$ はnon-colliderである。このようなd-connecting path上の他のどの頂点もnon-colliderでなければならないことを示すことができる：パス上にコライダーがあるとすると、 $W$ の後にパス上の最初のコライダー、仮に $SA$ ,  $B$ ,  $C$ を取り、パスが次のような形になるようにする： $X \rightarrow W \rightarrow V \rightarrow \dots \rightarrow$ しかし、もし経路がd-connectingであれば、 $B$ の子孫、例えば $D$ が条件付けされたことになり、すなわち $D \in T$ となる。しかし、 $D$ は $B$ の子孫であり、 $B$ は $W$ の子孫であるので、Descendants ( $W$ )  $T = \emptyset$ であり矛盾となる。

しかし、この場合、 $W$ は $X$ と $Y$ の共通の子の子孫であり、 $Y$ の祖先となるが、これは(iii)と矛盾する。

これで、レマ2...の証明は完了です。

## コローリーA

グラフ および の PAG  $P$ が与えられたとき $X$ と $Y$ は、以下のいずれかが in で成立 する場合にのみ、 $I$ で  $p$  接している：

- (i)  $X$ は $Y$ の親である、または
- (ii)  $Y$ は $X$ の親である、または
- (iii)  $X$ と $Y$ の両方の子である頂点 $Z$ があり、 $Z$ が $X$ か $Y$ のどちらか（または両方）の祖先であるような場合。

証明する：もし「は」はレマ1により証明され、「もしだけ」はレマ2より $Q - \emptyset$

で逆説的に導かれる。

**定義：** グラフにおけるp-adjacent

従って、頂点 $X, Y$ のペアがグラフ( $\cdot$ )で*p-adjacent*であることは、(i), (ii), (iii)の少なくとも1つが成立することを意味する、とすることができます。

のすべてのPAGにおいてp-adjacentである場合にのみ、頂点のペアがp-adjacentであることは、Corollary Aから導かれる。このため、グラフとPAGのどちらを指しているのかを明示せずに、変数のペアをp-adjacentと呼ぶことがある。

## コロリB

グラフにおいて、 $X$ と $Y$ がある集合 $R$ によって $d$ 個分離されている場合、 $X$ と $Y$ は、すべての頂点が $X$ または $Y$ の祖先である集合 $T$ によって $d$ 個分離され、さらに、 $T$ が $X$ に $p$ 個隣接する頂点の部分集合であるか、 $X$ が $Y$ の祖先であるかである。

**証明する：**  $X$ と $Y$ はある集合 $R$ で

$d$ 個に区切られているので、 $X$ と $Y$ は $p$ 個に隣接しない

。  $Q=\emptyset$ として、Lemma 2を適用する。その場合

$S = \text{チルドレン}(X) \cup \text{祖先}((X, Y))$

$T = (\text{Parents}(S \setminus \{X\}) \cup S) \cup X$  (子孫 (子供 ( $X$ )  $m$ 子供 ( $Y$ )) )。  $\{X, Y\}$ )

$S$ に含まれるすべての頂点は $X$ または $Y$ の祖先であり、 $T$ に含まれるすべての頂点は $X$ の親、 $S$ の頂点、または $S$ の頂点の親のいずれかであり、したがって $T$ のすべての頂点は $X$ または $Y$ の祖先であることが、レンマ2より、 $T$ を与えられた $X$ と $Y$ は $d$ -分離していることがわかります。

あとは、 $T$ が $X$ に $p$ 隣接する頂点の部分集合であるか、 $X$ が $Y$ の祖先であることを示すだけである。 $C$ が $X$ の祖先である場合、 $V$ は $X$ に $p$ -adjacentであり、 $C$ が $Y$ の祖先である場合、 $X$ は $Y$ の祖先である・・・。

## レンマ3

グラフにおいて $A$ と $B$ が $p$ 隣接していない場合、 $A$ と $B$ は、 $A$ に $p$ 隣接する頂点の集合 $T_A$ か、 $B$ に $p$ 隣接する頂点の集合 $T_B$ によって $d$ 分離していることになります。

証明する：レンマ2の補則Bにより、 $A$ と $B$ が $p$ 隣接していない場合、 $T_A$ where

があればAとBはd分離していることになる：

$S_A = \text{Children}(A) \cup \text{ancestors}((A, B))$

$T_0 = (\text{親}(S \setminus \{A\}) \cup S) \times (\text{子孫}(\text{子供}(A) \cup \text{子供}(B)))$ 。(A,B)である、

ケース1：AはBの祖先ではない

付言Bからレンマ2より、AはBの祖先ではないので、 $T_{AZ}$  ( $X \perp X$  p-adjacent にA)。

ケース2：BはAの祖先ではない。

ここで、 $T_B$ はケース1の $T_A$ と対称に定義される。

ケース3：BはAの祖先であり、AはBの祖先である。

ここで、 $T_A$ 中の任意の頂点Vは、Aの子、Aの親、またはそれ自体がAの子である $S_A$ 中の頂点Cの親のいずれかである。明らかに、最初の2つのカテゴリーの頂点はAにp隣接している。AはBの祖先であり、BはAの祖先であるから、 $S_A$ のすべての頂点はAの祖先であることになり、したがって

TAのすべての頂点はAにp隣接している[TBのすべての頂点はBにp隣接している場合もあることに注意]。

アルゴリズムの入力が有向グラフJのd-separationオラクルであるとする。ある組の変数AとBをd-separateするセットを見つけるために、アルゴリズムはPにおいてAにp-adjacentする頂点のサブセットとPにおいてBにp-adjacentする頂点のサブセットをテストして、AとBをd-separateするか確認する。においてAとBにp隣接する頂点は、常に $V^2$ においてAとBにp隣接する頂点の部分集合であるから、ステップ\$Aは、.においてAとBをd分離する集合があれば、AとBをd分離する集合を見つけることが保証されるということは、レンマ3から成り立つ。

## セクション 7B

次のレンマは、(CCDアルゴリズムのように)その集合のすべての適切な部分集合をすでにテストしていない限り、集合を決してテストしない探索によって見つかるd-分離集合の重要な特性を与えるものである。

Lemma 4 グラフJにおいて、YがXやZやRの祖先でないとする。  $Y \in S$ と、Yを含まないすべての適切な部分集合T s.t.  $R \cap T \cap S \neq \emptyset$ が、XとZをd-連結するような集合S、RSSが存在するなら、Sは ( ) においてXとZをd-連結する。

**証明**  $T'' = \text{Ancestors}(\{X, Z\} \cup R) \cap S$ とする。ここで、 $RQ''$ 、 $T^\circ$ はSの適切な部分集合であるから、仮説により、 $T''$ を条件とするd-connecting path、Pが存在する。d-連結パスの定義により、P上のすべての要素は、終点のいずれかの祖先か、 $T''$ のいずれかである。さらに、定義により、 $T''$ のすべての要素はXかZかR



の祖先である。したがって、経路P上のすべての要素はXかZかRの祖先である。YもSET "のどの要素もXかZかRの祖先ではないので、IT'の頂点はP上になりことになる。

IT'の要素はパス上にある（TでアクティブなコライダーはすべてSでもアクティブである）。したがって、PはSを与えてもXとZをd-connectする...

#### 定義最小d分離集合

XとYがSを与えられてd分離し、Sの任意の適切な部分集合を与えられてd連結する場合、SはXとYの最小d分離集合である。

---

\*\*これは、頂点X,Yのペアがp個隣接している場合、それらをd個分離する集合が見つからないため、XとYの間の辺が削除されないからです。

ここで役に立つのが、次のようなコローリーである：

**コローリ：** グラフ $J$ において、 $S$ が $X$ と $Y$ の最小 $d$ 分離集合であるとき、 $S$ 中の任意の頂点は $X$ または $Y$ の祖先である。

**証明する：** 定理4から、 $R = \emptyset$  を用いて、禁則処理により、直ぐに帰結する。 .

このことから、 $B$ の非遮蔽非コライダー配向規則が正しいことがわかる。 $A$ と $B$ 、 $B$ と $C$ が $p$ 隣接しているが、 $\text{Sepset}(A,C)$ に $B$ が含まれている場合、探索手順の性質から、 $\text{Sepset}(A,C)$ のどの部分集合でも $A$ と $C$ は $d$ 分離されないことがわかる。したがって、 $A^* \cdot B^* \cdot C$ は、 $\text{PAG}$ において $A^* \cdot \underline{B^*} \cdot C$ として配向されるべきである。

この後の証明では、以下のLemmaを頻繁に使用する。(これは、*Causation, Prediction and Search*, Spirtes *et al.*, 1993 のLemma 3.3.1 の環状ケースを拡張したものである。証明はRichardson(1994)を参照)。このLemmaは、「短い」 $d$ -connecting pathのセットをまとめて1つのpathを形成することができる条件を与える。

**CPS Lemma 3.3.1+** (Richardson 1994b)

頂点  $V$  の集合にかかる有向（環状または非環状）グラフ  $G$  において、

以下の条件が成立する *IF*：

- (a)  $R$ は、 $V$ における $A$ から $B$ までの頂点の列であり、 $R = \langle A, X_0, \dots, X_{n+1}, B \rangle$ 、 $H_i, 0 \leq i \leq n$ ,  $X_i X_{i+1}$  ( $X_i$ はペア的に異なるだけ、すなわち必ずしも異なるわけではない) となるようなものである。
- (b)  $S \subseteq W(A, B)$
- (c)  $I$ は、以下のような無向きのパスの集合である。
  - (i)  $R$ の連続する頂点 $X_i$ と $X_{i+1}$ の各対に対して、 $X_i$ と $X_{i+1}$ を $d$ -connectするユニ

ークな無向パスが $I$ に存在し、 $R(X_i, X_{i+1})$ が与えられる。

(ii)  $R$ のある頂点 $X_k$ が $S$ にある場合、 $I$ のうち $O_k$ を終点とする経路は $X_k$ で衝突する。(すなわち、両方のパスが $X_k$ に向けられる)

(iii) が $R$ に存在する3つの頂点 $X_{k-1}, W_k$ について、 $X_k$ と $X_{k+1}$ が $X_k$ で衝突する場合。 $X_{k+1}$ が $R$ に発生し、 $X_{y-i}$ と $X_p$ を結ぶ $I$ のd-connecting path、 $X_k$ と $X_{k+1}$ が $X_k$ で衝突する場合、 $X_p$ は $S$ に子孫を持つ。

そして、 $S$ が与えられたときに、 $A-X_0$ と $B-X_{vii}$ をd-connectするパス $U$ が存在する。

次のLemmaは、 $B$ のオリエンテーションルールの正しさを示している：

**Lemma 5:**  $A$ と $B$ がp-adjacent、 $B$ と $C$ がp-adjacent、 $B$ が $A$ または $C$ の祖先である場合、 $A$ および $C$ は、任意の集合 $S$ 、s.t.  $A, B, C \in S$ が与えられるとd-connectedである。

証明する：一般性を損なわない範囲で、BがCの祖先であるとする。Sを条件として、AとCがd-connectedであることを証明すれば十分である。Bの（適切な）子孫がS内にあるかどうかによって、2つのケースが考えられる。

ケース1：Bのある（適切な）子孫はSにいる。

レンマ1とAとBのp-隣接性から、任意の集合Sが与えられたとき、Sを条件として、AからBへのd-連結パスが存在し、同様にBからCへのd-連結パスが存在することがわかる。Bの子孫はSに存在するが、B自身はSに存在しないので、AからBへの経路とBからCへの経路がBで衝突するかどうかは問題ではないので、Lemma 3.3.1+ を簡単に適用すれば、AとCはd-connectedであることがわかる。

ケース2：Bの子孫はSにいない。

AとBをd-連結する経路が存在することは、レンマ1から導かれる。Bの子孫は有向経路 $B \rightarrow \dots \rightarrow C$ を条件としていないため、d-連結する。Sによって、AとCがd-connectedであることは、Lemma 3.3.1+によって、Sが与えられていることから、次のようになる。

AおよびBがp隣接し、BおよびCがp隣接し、AおよびCが $\text{Sepset}\langle A, C \rangle$ 、 $B \in \text{Sepset}\langle A, C \rangle$ でd分離される場合、BはAまたはCの祖先ではないので、 $A^* \rightarrow B^* \rightarrow C^*$ は $A \rightarrow B \leftarrow C$ として方向付けられるべきであることが逆接により得られる。

## セクションC

定理6：グラフJにおいて、XがYの祖先であるとし、Sが与えられたときにAとYがd分離し、Sが与えられたときにXとYがd連結し、 $X \in S$ が与えられたときにAとXがd分離するような集合Sが存在すれば、Sが与えられたときにAお

よび $X$ は $d$ 分離しているとする。

証明する： $X$ を $Y$ の祖先とし、 $S$ を $X$ と $Y$ が $S$ で $d$ -connected、 $X \in S$ 、 $A$ と $Y$ が $S$ で $d$ -separatedとなる任意の集合とする。矛盾のために、 $A$ と $X$ が $S$ で $d$ -connectedだとすると、 $A$ から

$X$ . 現在、2つのケースがあります：

ケース1： $X$ の何らかの子孫が $S$ にいる。

$X \in S$ で、 $X$ の何らかの子孫が $S$ にいたので、Lemma 3.3.1+ から、 $S$ を与えられた $A$ から $X$ への $d$ -connecting pathと $S$ を与えられた $X$ から $Y$ への $d$ -connecting pathを合わせて、 $S$ を与えられた $A$ から $Y$ への $d$ -connecting pathを形成できることになる。これは、 $S$ を与えられた $A$ と $Y$ が $d$ -分離していると仮定したので矛盾している。

ケース2： $X$ の子孫は $S$ にいない。

この場合、 $X$ は $Y$ の祖先であるため、 $d$ -連結有向パス $X \rightarrow \dots \rightarrow Y$ が存在する。ここでも、Lemma 3.3.1+により、 $A$ から $X$ への $d$ -connecting pathと $X$ から $Y$ への $d$ -connecting directed pathを合わせて、 $A$ から $Y$ への $d$ -connecting pathを形成することができる。

Sが与えられれば、AとYはd分離されると仮定していたので、これは再び矛盾することになる。

ここまでで、前件の条件下で、SがAとXのd分離集合であることを示しました

.

**Lemma 7:** A、X、Yを グラフ の3頂点とし、XとY

がp隣接するようにする。というような集合Sがある場合:

- (i)  $X \subset S$ です、
- (ii) AとYは、Sが与えられるとd個に分離される。
- (iii) AとXは、Sが与えられるとd-connectedとなる。

すると、XはYの祖先ではない。

証明する: XとYがp-adjacentであれば、XとYは他の変数のすべての部分集合によってd-connectedである。SはAとYをd-separateするが、AとXをd-connectするので、XはYの祖先ではないことがレンマ6から導かれる...

13 -

ステップSCは、単にLemma 7を適用するだけである。 $\langle A, X, Y \rangle$ が次のような三重項であるとする:

- (i) AはXまたはYにp隣接しない
- (ii) XとYは「P」においてp隣接しており
- (iii)  $X \not\subset \text{Sepset}\langle A, Y \rangle$

C(i)は次のようにして正当化される。 $\text{Sepset}\langle A, Y \rangle$ が $\text{Sepset}\langle A, X \rangle$ であるとする。 $\text{Sepset}\langle A, X \rangle$ を見つけるためにAで使われた探索手順は、 $\text{Sepset}\langle A, X \rangle$ をテストする前に、 $\text{Sepset}\langle A, X \rangle$ のすべての部分集合がAとXをd分割するかどうかテストすることを思い出してください。特に、 $\text{Sepset}\langle A, Y \rangle \supset \text{Sepset}\langle A, X \rangle$ の場合、 $\text{Sepset}\langle A, Y \rangle$ があればAとXはd-connectedなので、 $S = \text{Sepset}\langle A, Y \rangle$ として

、Lemma 7を適用して $X \rightarrowtail Y$  を $X \leftarrow Y$ として方向づけることができる。

C(ii)は次のようにして正当化される。Sepset $\langle A, Y \rangle$ が与えられたとき、AとXがd-connectedであるとする。X  $\in$  Sepset $\langle A, Y \rangle$ なので、S = Sepset $\langle A, Y \rangle$ とすると、再びLemma 7を適用して $X \rightarrowtail Y$ を $X \leftarrow Y$ として方向づけることができる。

C(ii)のSepset $\langle A, X \rangle$  Sepset $\langle A, Y \rangle$  という条件は、C(ii)を正しくするために必要ではなく（この規則の正当化において何の役割も果たしていないことから明らか）、d-分離のテストを冗長に行うのを避けるために含まれています。Sepset $\langle A, X \rangle$  Sepset $\langle A, Y \rangle$  の場合、Sepset $\langle A, Y \rangle$ が与えられると、AとXはd-connectedではない。（これはY  $\in$  Sepset $\langle A, X \rangle$ だからです。したがって、 $X \rightarrowtail Y$ は、C(i)の別の適用により、最終的にPAGの中で $X \rightarrow Y$ として配向される。このことから、Xは

---

13アルゴリズムの正しさを証明するためにこの最後の事実は必要ないが、この推論が可能な状況を示しているため、この事実を含める。

のYの祖先である。レンマ6により、XはYの祖先であるため、 $\text{Sepset}\langle A, Y \rangle$ が与えられたとき、AとXはd-connectedではない)。 $\text{Sepset}\langle A, Y \rangle - \text{Sepset}\langle A, X \rangle$ ならば、( $\text{Sepset}\langle A, X \rangle$ の定義から) AとXがd-connectedでないことは既知であるから、 $\text{Sepset}\langle A, Y \rangle$ でAとXがd-connectedかどうかを検証する必要はない。

Richardson(1994b)で示されたように、2つの環状グラフはd-separation関係では「局所的に」一致しても、遠い変数間のあるd-separation関係では一致しないことがあるので、このタイプの規則は環状発見アルゴリズムに必要である。(このような規則が、統計的検定によって一般に「遠い」変数が独立であることが判明している実データで使われるかどうかは別問題である)。

## セクションD

このセクションでは、シールドされていないコライダーのための「余分な」d分離集合を見つけるために検索します。非周期的な場合、頂点 $X^* \cdot Y^* \cdot Z$ の三重集合で、XとYがp隣接、YとZがp隣接、しかしXとZがp隣接していないものは、XとZのd分離集合がすべてYを含む、またはXとZのd分離集合がすべて以下を含まないという特性を持つ。

しかし、環状の場合、XとZがYを含む集合とYを含まない集合によってd分割されることがあり得るのである<sup>14</sup>。XとZがYを含まない集合によってd個分離されている場合、YはXやZの祖先ではないことは、すでにレンマ5からわかっている。これには次のレンマとコロリで答える：

**定理8：** グラフにおいて、YがXとZの共通の子の子孫である場合、XとZはYを含む任意の集合によってd-connectedとなる。

証明する： YがXとZの共通の子Cの子孫であるとする、 $X \rightarrow C \rightarrow Z$ の経路は



、Yを含む任意の集合を与えてXとZをd-connectする。

コロラリ：グラフにおいて、XとYがp隣接し、YとZがp隣接するが、XとZがp隣接せず、YがXまたはZの祖先ではなく、 $Y \in S$ 、XとZがSを与えられてd分離するような集合Sがある場合、YはXとZの共通の子の子孫ではない。

---

これは、潜在変数を持つ非周期的なケースでも同様です。

Lemma9: グラフにおいて、YがXとZの共通の子の子孫でない場合、XとZは次のように定義される集合Tでd分離される:

$S$ -子供(X)          先祖((X,Y,Z))

$T = (\text{Parents}(S(X)) \cup S) \cup X \cup (\text{子孫}(\text{子供}(X) \cup \text{mChildren}(Z)))$ 。

(X,Z) である。さらに、XとY、YとZがp-adjacentであれば、 $Y \in T$ 。

**証明する:**  $Q = (Y)$ を用いて、XとZがTを与えられたときにd分割されることは、Lemma 2から成り立つ。あとは、 $Y \in T$ を示すだけである:

ケース1: YはXの子である。

YがXの子であれば、YはYの祖先なので、 $Y \in S$ 。YはXとZの共通の子の子孫ではないので、どちらの場合も、 $Y \in T$ 。

ケース2: YがXの親である

YはXの親であり、YはXとZの共通の子の子孫ではないので、 $Y \in T$ 。ケース3:

XとYはXまたはYの祖先である共通の子Cを持つ。

CはXの子であり、XまたはYの祖先であるから、 $C \in S$ 。YはCの親であり、YはXとZの共通の子の子孫ではないので、 $Y \in T$ 。

レンマ10: XとZがある集合Rによってd分離されている場合、すべての集合Q

$\text{Ancestors}(R(X,Z)) \cup X \cup Z$  について、XとZはR Q によって d分離される。

**証明する:** 矛盾のために、XとZを結ぶ経路P dが存在すると仮定すると、R Q.P上のすべての頂点は、X、Z、R Qのいずれかの祖先であることがわかる。Qは $\text{Ancestors}(R(X,Z))$ なので、P上のすべての頂点はX、ZまたはRの祖先であることになる。P上のXから最も遠いコライダーでXかつR以外の祖先（そのようなコライダーが存在しない場合はX）であるものをA、P上のAの後の最初のコライダーでZかつR以外の祖先であるものをBとする（そのようなコラ

ライダーがない場合はZ)。 $X \vdash A$ 、 $B \vdash Z$ の経路は、AおよびBの定義により、これらの経路上のどの頂点もRに存在しないので、明らかにRを与えられたd-connectingである。

R.さらに、A-B間のPのサブパスも、すべてのコライダーはRの祖先であり、非コライダーはRに存在しないので、仮説により、PはR Qでd-connectするので、Rでd-connectすることになる。Lemma 3.3.1+により、RでXとZをつなぐパスがある。

セクション \$D\$ の探索は、 $\mathcal{F}$  の各三重項  $A \rightarrow B \leftarrow C$  を順番に考え、 $R(B, \text{Sepset}(A, C))$  が与えられたときに A と C が d-separated であるような  $\text{Local}(T, A) \setminus \{C\}$  の部分集合である集合 R を見出そうとするものである。この場合、B を含み、A と C を d-separate し、すべての頂点が A の親、A の子、または A の子の親のいずれかである、レンマで与えられた集合 T という部分集合が存在することが、レンマ 9 から導かれます ( $T \cap \text{Local}(\mathcal{F}, X) \cap \text{Sepset}(A, C)$  は A と C の最小 d-分離集合であるから、

となり、 $\text{Sepset}\langle A, C \rangle \subseteq \text{Ancestors}((A, C) \cup X(A, C)) \cap \text{Ancestors}(T(A, C))$  が成立することがわかる。したがって、レンマ10により、 $T \text{ Sepset}\langle A, C \rangle$  も  $A$  と  $C$  を  $d$ -separate する。

読者は、 $\$D$  が  $T \text{ Local}(P, A)$  という形式の集合をテストするのではなく、 $T \text{ Sepset}\langle A, C \rangle$ , (ここで  $T \text{ Local}(T, A)$ ) という形式の集合をテストするのはなぜかと思うかもしれませんが、Lemma 9 は後者の種類の検索が、 $B$  を含む  $A$  および  $C$  の  $d$  分割集合を見つけることに成功することを示しました。答えは、レンマ10より、 $A$  と  $C$  を  $d$  分割する任意の集合  $T \text{ Local}(T, A)$  は、 $T \text{ Sepset}\langle A, C \rangle$  も  $A$  と  $C$  を  $d$  分割するようなものであるが、その逆は成り立たないということである。特に、 $T \text{ Sepset}\langle A, C \rangle$  が  $A$  と  $C$  を  $d$ -separate するような最小の集合  $T$  は、 $A$  と  $C$  を  $d$ -separate する最小の集合  $T$  だけよりもかなり小さく、したがって検索はかなり速くなる可能性がある<sup>1\*</sup>。

アルゴリズムが  $\$D$  の探索を  $m=1$  で開始し、 $T=\emptyset$  をテストしない理由を説明するために、もう1つのレンマが必要である：

**Lemma 11:**  $X$  と  $Y$  が  $p$  隣接、 $Y$  と  $Z$  が  $p$  隣接、 $X$  と  $Z$  が  $p$  隣接でなく、 $Y$  が  $X$  または  $Z$  の祖先でなく、 $S$  が  $X$  と  $Z$  の最小  $d$  分離集合であるとき、 $X$  と  $Z$  は  $S \text{ in}(Y)$  があれば  $d$  連結する。

**証明する：** レンマ2の補題Aは、 $X$  と  $Y$  が  $p$  隣接している場合、 $X \rightarrow Y$ 、 $Y \rightarrow X$ 、 $X \rightarrow C \rightarrow Y$  のいずれかとなり、 $C$  は  $X$  または  $Y$  の祖先であることを意味する。したがって、 $Y$  が  $X$  の祖先ではないという仮説の下では、 $X$  が  $Y$  の祖先であることが成り立つ。さらに、 $X$  から  $Y$  への有向パス  $P$  が存在し、その上には  $X$  以外のすべての頂点が  $Y$  の子孫であり、したがって  $X$  以外のすべての頂点が  $X$  または  $Z$  の祖先ではないことが導かれる ( $X \rightarrow Y$  の場合、最後の主張は些細なことであ

る。他の場合は、単に経路  $XmCm...Y$  の性質を述べているだけであり、 $C$  は  $X$  と  $Y$  の共通の子である)。同様に、 $Z$  を除くすべての頂点が  $X$  または  $Z$  の祖先でない、 $Z$  から  $Y$  への経路  $Q$  がある。

$S$  が最小  $d$  分離集合である場合、 $S$  中のすべての頂点は  $X$  または  $Z$  の祖先である（そして  $X, Z \in S$ ）。したがって、 $P$  または  $Q$  上の頂点は  $S$  にはない。 $P$  は  $S$  が与えられたときに  $X$  と  $Y$  を  $d$ -connect し、 $Q$  は  $S$  が与えられたときに  $Y$  と  $Z$  を  $d$ -connect する。

これで、アルゴリズムのステップ  $SD$  は、 $A \rightarrow B \leftarrow C$  の各ニプルに対して、 $A$  と  $C$  を  $d$  分割し、 $B$  を含む集合が存在すれば、そのような集合を見つけることに成功することの証明が完了しました。

---

15 場合によっては、最小の集合  $(T \text{ Sepset} \langle A, C \rangle)$  のカーディナリティは、最小の  $T$  のカーディナリティよりも大きいかもしれないが、一般的にはそうではなく、我々は線形モデルの発見だけを意図しているので、これは重要ではない。(離散モデルでは、条件付き独立性検定で大きな変数の集合を条件付けると、検定の検出力が劇的に低下することがあります)。

## セクション J{E

次のLemmaは、 $A \rightarrow B \leftarrow C$ 、 $A \rightarrow D \leftarrow C$ 、 $D$ が $\text{SupSepset}\langle A, B, C \rangle$ にない場合、 $B^* \rightarrow D$ が $B \rightarrow D$ として指向される\$Eの正当性を示す。

**Lemma 12:** PAG 'P for ,  $X \rightarrow V \rightarrow Z$ ,  $X \rightarrow W \rightarrow Z$ において、 $X$ と $Z$ が $p$ 隣接せず、 $W$ が $J$ における $V$ の祖先である場合、 $\forall e S$ 、 $X$ と $Z$ が $S$ によって $d$ 分離されるような任意の集合 $S$ は、 $W$ をも含む。

証明  $V$ を含み $W$ を含まない $X$ と $Z$ の $d$ 分割集合 $S$ があったとする。 $W$ は $V$ と $\forall e S$ の祖先であるが $W \notin S$ であるから、Lemma 3.3.1+により、 $S$ が与えられた $X$ から $W$ への $d$ 接続パスと $S$ が与えられた $W$ から $Z$ への $d$ 接続パスは、（これらのパスが $W$ で衝突するかどうかにかかわらず）一緒になって $S$ が与えられた $X$ から $Z$ への新しい $d$ 接続パスを形成できることが分かる。 $X$ は $W$ に $p$ 隣接し、 $W$ は $Z$ に $p$ 隣接しているので、このような $X$ と $W$ の間、 $W$ と $Z$ の間の $d$ -連結経路は（レンマ1の補題Aにより）存在します。

**注:** 実はこのレンマの逆もまた真である： $V$ を含むすべての $d$ 個の分離集合が $W$ も含むならば、 $W$ は $V$ の祖先である<sup>16</sup>。

レンマ12に対する**逆の証明**： $W$ が $V$ の祖先でない場合、 $X$ と $Z$ を $d$ 分割するが $W$ を含まない集合が存在することを証明すれば十分である。

$V$ を含む集合 $R$ の中に、 $X$ と $Z$ を $d$ 分離するものがあることは、レンマ9とPAG 'Pの $X \rightarrow V \rightarrow Z$ という仮説から導かれる。 $\forall e S$ 、 $S$ が $X$ と $Z$ を $d$ 分離するような $R$ の任意の部分集合を $S$ とすると、 $\forall e T$ 、 $X$ と $Z$ が $T$ によって $d$ 分離されるという部分集合 $T \setminus S$ はない。（このような集合 $S$ は存在することが保証されている。）レンマ4から、 $S$ のすべての頂点は $X$ 、 $Z$ 、 $V$ の祖先であることがわかる。PAGの仮説 $X \rightarrow W \rightarrow Z$ により、 $W$ は $X$ や $Z$ の祖先ではない。

したがって、 $W$ が $V$ の祖先でない場合、 $X$ と $Z$ を $d$ 分割し、 $V$ を含み、 $W$ を含まな

い集合、すなわちSが存在することになります。

A- B -C, A->Do-C, D が SupSepset<A,B,C> にある場合、アルゴリズムは B\*-oD を B\*-D として方向づけるが、この推論は次のように正当化できる：

DがSupSepset<A,B,C>にあれば、Dが(B )S e pset<A,C>の祖先であることは、Lemma 4と、SupSepset<A,B,C><sup>17</sup>の検索の性質から、導かれます。Sepset<A,C>はAとCの最小d分割集合であり、さらにSepset<A,C>のすべての頂点はAまたはCの祖先であるから、DがSupSepset<A,B,C>にあれば、DはA、C、Bの祖先であることになるが、AからCへの辺にはDへの矢尻があるので

---

<sup>16</sup>逆は、この後のどの証明でも必要とされないので、別途記載する。

<sup>17</sup>セクションDが、AとCをd分割する(B )Sepset<A,C>の最小のスーパーセットを探すという事実があること。

したがって、 $B^* \rightarrow D$ を $B^* \rightarrow D$ として配向するのが正しい。

PのA-D-Cの場合（AとCはp隣接せず、点線 $A \rightarrow D \rightarrow C$ は存在しない）、レンマ8以降の議論と帰結から、AとCはDを含む（AもCも含まない）任意の集合Sによってd接続されるので、DはAとCの共通子の子孫である。さらに、AとCはBを含む何らかの集合によってd分離されるので、BはAの共通子の子孫でない。

C.したがって、「P, A-B-C,  $A \rightarrow D \rightarrow C$ , BとDがp-adjacentである」場合、 $B^* \rightarrow D$ は $B \rightarrow D$ として配向されるべきである。

注 この最後の推論を行う際に、SepsetもSupSepsetも参照されないので、このケースは「方向づけルール」ではなく「伝播ルール」と呼ぶのがよいかもしれません。

## セクション

AとCは $\text{SupSepset}\langle A, B, C \rangle$ 、Bは $\text{SupSepset}\langle A, B, C \rangle$ によってd個分離される。したがって、レンマ10により、DがBの祖先である場合、AとCは $\text{SupSepset}\langle A, B, C \rangle \setminus \{D\}$ によりd個分離される。したがって、逆接により、もしAとCが $\text{SupSepset}\langle A, B, C \rangle \setminus \{D\}$ でd-connectedであれば、DはBの祖先ではない。（実際、DはA,BまたはCの祖先ではないことが成り立つ）DはBの祖先ではなく、BとDはp隣接するので、BはDの祖先となる。したがって、 $B^* \rightarrow D$ は「1」における $B \rightarrow D$ として指向されるべきである。

これで、CCDアルゴリズムの正しさの証明は完了した。..

## §5.2 定理2の証明: d-separation completeness



CCDアルゴリズムのd分離完全性を証明するために必要なことは、CCDアルゴリズムへの最初の入力 $\alpha_1$ が出力 $\alpha_2$ をもたらすd分離オラクルで、CCDアルゴリズムへの2番目の入力 $\alpha_2$ が出力 $\alpha_3$ をもたらす

d分離オラクルで、 $\alpha_1$ および $\alpha_2$ が同一の場合、次のことを示すだけである。

と $\alpha_3$ が

d-separationと同等であることを証明する。のd-separationオラクルを使用する場合、そのオラクルは、以下のようになることを証明することによって、これを行う。

をCCDアルゴリズムの入力とし、出力として同じPAGを生成する場合、 $\alpha_1$ 、 $\alpha_2$ は互いに環状等価定理CET(I)-(V)の5条件（以下に示す）を満たす。この5つの条件を満たす場合に限り、2つのグラフ $\alpha_1$ と $\alpha_2$ が互いにd-分離等価であることは、Richardson(1994b)で既に示されている。

周期的等価性を述べるためには、いくつかの余分な定義が必要である。

定理

### 定義非シールド導体および非シールド非導体

(環状または非環状)グラフにおいて、頂点 $\langle A, B, C \rangle$ の三重が非遮蔽導体を形成するのは次のような場合であるとする：

- (i) AとBはp-adjacent、BとCはp-adjacent、AとCはp-adjacentではない
- (ii) BはAまたはCの祖先である

$\langle A, B, C \rangle$ が(i)を満たすが、BがAまたはCの祖先でない場合、 $\langle A, B, C \rangle$ は、(i)を満たすとする。

非シールドの不導体です。

### 定義非シールド型完全・不完全非導電体

(環状または非環状)グラフにおいて頂点 $\langle A, B, C \rangle$ の三重が、以下の場合に非遮蔽完全不導体であるとされる：

- (i) AとBはp-adjacent、BとCはp-adjacentであるが、AとCはp-adjacentではない。  
p-adjacentです。
- (ii) BはAやCの祖先ではありません。
- (iii) Bは、AとCの共通の子の子孫である。

$\langle A, B, C \rangle$ が(i)と(ii)を満たすが、BがAとCの共通の子の子孫でない場合、 $\langle A, B, C \rangle$ は非遮蔽不完全不導体であると言われます。

### 定義旅程表

$X_0, X_1, \dots, X_{n+1}$ が、 $t_i, H_i, 0_i$ 、 $X_i$ と $X_{i+1}$ がp隣

接する、異なる頂点の列であるとする、 $\langle X_0, X_1, \dots, X_{n+1} \rangle$  is Said to be an itinerary. .<sup>1</sup>

定義定義：旅程に関する相互排他的な非シールド導体。 $\langle X_0, X_1, \dots, X_{n+1} \rangle$ は以

下のような旅程である：

- (i) それはIN t ñ n、 $\langle X_{t-1}, X_{t+1} \rangle$ は非シールド導体である。

- (ii)  $\forall k \leq n, X_{y-i}$ は $X_k$ の祖先であり、 $X_{k+1}$ は $X_p$ の祖先であり。
- (iii)  $\{X_i$ の子孫ではなく、 $X_n$ は $X_{n+1}$ の祖先ではない $\}$ とすると、 $\langle @, X, X_2$   
and  $\text{Ibn-1 } X_n' X_{n+1} \rangle$ は行程 $\langle X_0, \dots, X_{n+1} \rangle$ 上の *Mutually exclusive (m.e) unshielded conductors* です。

### 定義 アンカバー・イティネラリー

とすると、 $\langle X_0, \dots, X_{n+1} \rangle$  が  $H_{i,j}$   $\langle j-1 \leq j \leq n \rangle$  となるような旅程である。  
 $i$ と $X_j$ がグラフ上で  $p$ -adjacent で  
 ない場合、 $\langle X_0, \dots, X_{n+1} \rangle$ は覆われない旅程である。すなわち、旅程は以下の通り  
 である。

旅程上の他の頂点に  $p$ 個隣接する頂点が、旅程上で連続して出現する頂点だけ  
 である場合、覆われない。

---

<sup>18</sup>このように、旅程はPAGにとって、無向きのパスが有向グラフであるのと同じです。

巡回等価定理 (Richardson 1994b)

グラフ  $G$  と  $H$  は、以下の5つの条件が成立する場合にのみ、d-separation equivalentとなる:

CET(I)  $G$  と  $H$  は同じp-adjacenciesを持つ。

CET(II)  $G$  と  $H$  は、同じ非シールド要素すなわち (

Ha) 同じ非シールド導体を有し、か

つ

(11b) 同じくシールドされていない完全な非電導体

CET(III) すべての三重項  $\langle A, B, C \rangle$  と  $\langle X, Y, Z \rangle$  について、 $\langle A, B, C \rangle$  と  $\langle X, Y, Z \rangle$  は以下の場合にのみ、ある無蓋行程  $P = \langle A, B, C, \dots, X, Y, Z \rangle$  上のME導体です。

$\langle A, B, C \rangle$  と  $\langle X, Y, Z \rangle$  は m.e. conductor on some

unovered itinerary  $Q = \langle A, B, C, \dots, X, Y, Z \rangle$  in です。

CET(IV)  $\langle A, X, B \rangle$  と  $\langle A, Y, B \rangle$  が遮蔽されていない不完全な非導電体である場合 (in ; and

$\in Z$ )、 $X$  が  $J_t$  における  $Y$  の祖先である場合に限り、 $X$  は  $J_t$  における  $Y$  の祖先となる。

CET(V) ある無蓋行程  $P = \langle A, B, C, \dots, X, Y, Z \rangle$  において、 $\langle A, B, C \rangle$  と  $\langle X, Y, Z \rangle$  が相互に排他的な導体で、 $\langle A, M, Z \rangle$  が非シールド不完全不導体 (in と  $J$ ) であるとき、 $M$  が  $B$  の子孫であれば、 $( )$  で  $B$  の子孫がある。

定理13:  $Ok$  という性質を持つ有向グラフの頂点の列  $\langle X_0, \dots, X_{n+1} \rangle$  が有向グラフに存在し、 $Ok, 0 \leq k \leq n, X_k$  は  $X_{k+i}$  の祖先であり、 $X_k$  は  $X_{k+t}$  に  $p$  隣接するという性質を持つとき、次の性質を持つ  $X_i$  の部分列が存在する:

(a)  $X_0 = o$

(b)  $H_j, Y_j$  は、 $J_{j+1}$  の祖先である。

(C)  $H_j, k_j < k$  のとき  $Y_j$  と  $Y$  は、 $k=j+1$  のときだけ、グラフ上で  $p$  個の隣

接を持つ。  $p$ -adjacentである $k$ は連続して出現するものだけである。

証明する： は、以下のように構成されます。  $k$  s は次のように構成できる  
：

Let=  $X_0$

とする。  $k+1$   
 $= X_y$  ここで、  $r \mid$  は  $X_p$  が  $X_j$  に  $p$  隣接するような最大の  $h > j$  である。  $k-$

(a)の性質は、この構成から直ちに得られる。性質(b)は、祖先関係の他動性と、 $k$ が $X_i$ の部分列であることから導かれる。また、 $k=j+1$ であれば、 $Y_j$ と $k$ は $p$ -adjacentであることは構成から明らかである。さらに、 $Y_j - X_{ml}^*$ と $k - X_{pare}$ が $p$ -adjacentで、 $j < k$ であれば、 $Y_{j+1} - X_y$ であれば、 $\S \tilde{y}$ なので、 $k \tilde{y}$ という構成から再び導かれます。(kは $X_i$ の部分配列なので)したがって、 $Y_{j+1} = k - \dots$ 。

---

<sup>19</sup> つまり、 $Y$ の頂点列の $j^o$ 頂点は、 $X$ の頂点列の $o$ 頂点となる。

Lemma 14:  $\epsilon_1$  と  $\epsilon_2$  を CET(I)-(III) を満たす2つのグラフとする。Itに有向パス  $D_1 \dots D_n$ が存在するとする。  $D_t, \dots, D_n$ とは異なる頂点を  $D_0$ とする。  $D_0$  は  $D_1$  に p-adjacent で、  $D_0$  は  $D_2$  に p-adjacent でない。  $\dots D_n$  または  $\epsilon_2$ 、  $D_0$  は  $D_t$  の in または  $\epsilon_2$  の子孫でない。

証明する:  $n$  に対する

帰納法により、基本ケ

ース:  $n=2$

仮説により、  $D_0$  は  $D_2$  に p 隣接しないので、  $\langle D_0, D_1, D_2 \rangle$  が形成するのはの遮蔽されていない導体 ( $D_i$  は  $D_t$  の祖先であるため)。したがって、この頂点のトリプルも、 CET(Ha)により、  $\epsilon_2$  において遮蔽されていない導体を形成しています。したがって、  $D_t$  は...のドア  $D_2$  の祖先である。仮説により、  $D_i$  は  $D_0$  in の祖先ではないので、  $D_i$  は  $J$  において  $D_t$  の祖先であることがわかる。

帰納的な場合: 長さ  $n$  のパスに対して仮説が真であるとする。

レンマ13から、 p 隣接する頂点は連続して現れるものだけであり、各頂点が次の頂点の祖先となるような部分列  $\langle D_q(0)-D_0, D_q(1)-D_q(2), D_q(t)-D_n \rangle$  が存在することがわかります。さらに、仮説により、  $D_0$  は  $D_2, \dots, D_n$  に p-adjacent ではないので、それは follow である。  $D_n$  は  $D_q(i)-D_t$  となる。  $H_i$  と  $\epsilon_z$  は CET(I) を満たすので、同じ p-隣接を持ち、したがって  $\epsilon_2$  において p-隣接する頂点は、連続する配列に現れる頂点だけである。の矛盾として、  $D_q(,t)$  が  $D_p(,)$  の祖先する。ここで、  $D_q(j)$  が  $\epsilon_z$  における  $D_q(i)$  の祖先でないような最小の  $j$  を  $s$  とする ( $D_q(1)+D_t$  と  $D_q(0)-D_0$  は存在しないのでこのような  $j$  は存在する)。

$a$  の子孫  $D_t$  の子孫ではないので、このような  $j$  は存在する)次にとなる。  
 $\langle D_q(t-2), D_q(t-1), D_q(t) \rangle$  遮蔽されていない旅程で相互に排他的な導体を発射する。  
 $\langle D_q(t-1), D_q(t) \rangle$  となる。しかし、  $D_q(i,)$  は  $\epsilon_z$  において  $D_q(,)$  の祖先であるため、これら2つのトリプルは相互に排他的ではなく、したがって CET(III) を満

たさず、矛盾となる。

したがって、 $D_q(i)$  は72-における  $D_q(\cdot)$  の祖先である。次に、帰納仮説から、 $D_i$  は  $D_q(t)$   $D_n$  の祖先である。

定理2: (d-separationの完全性)

CCDアルゴリズムが、グラフ  $I$  の d-separation oracle を入力として与えられた

とき、出力として PAGs  $+1+2$  をそれぞれ生成する場合、then  $I$  は、

が d-separation equivalent、すなわち **Equiv(J)** の場合に限り  $+2$  と同一であり、その逆も同様です。

**証明する:** 2つのグラフ  $t$  と  $S_2$  が d-separation で等価でない場合、入力として与えられた CCD アルゴリズムによって発見された PAG は、ある点で異なっていることを示します。

$f_i$  と  $e_z$  が d 分離等価でない場合、5つの条件 CET(I) ~ (V) のうち1つ以上を満たさないことは、循環等価定理から導かれます。ここで、 $+i$

を入力としたときにCCDアルゴリズムが出力するPAGを  
それぞれ示している。

そ

ケース1:  $CET(I)$ を満たさない。

この場合、2つのグラフは異なるp-adjacenciesを持つ。一般性を損なわない範囲で、 $C2$ においてp-adjacentでp-adjacentでない変数のペア $X$ と $Y$ があるとしよう。 $X$ と $Y$ は $H_i$ においてp-adjacentであり、 $Y$ は他の頂点の任意の部分集合を条件としてd-connectedである。したがって、 $X$ と $Y$ の間には、 $i$ において $X$ と $Y$ はp隣接しないので、 $X$ と $Y$ が隣接するような部分集合 $S$ 、 $(X, Y \in S)$ が存在する。

$X$ と $Y$ は、与えられた $S$ において $d$ 個に分離されている。レンマ3から、 $X$ に隣接する頂点 $p$ の部分集合である $T$ か、 $Y$ に隣接する頂点 $p$ の部分集合である $T$ という変数集合によって $d$ 個に分離されていることがわかる。エッジはアルゴリズムの後の段階で再び追加されることはないので、 $+2$ には $X$ と $Y$ の間のエッジは存在しない。したがって、 $+1$ および $+2$ が違います。

ケース2:  $CET(H_a)$ を満たせず

$H_i$ と $\epsilon_z$ が $CET(I)$ を満たすと仮定する。この場合、2つのグラフは異なる非遮蔽非伝導体を持つ。一般性をあまり損なわずに、 $S_i$ では $Y$ が $X$ または $Z$ の祖先であり、 $\epsilon_2$ では $Y$ が $X$ または $Z$ の祖先でないような頂点 $\langle X, Y, Z \rangle$ の三重が存在するとする。 $Y$ は $X$ または $Z$ の祖先であるが、 $\epsilon_2$ において $Y$ は $X$ または $Z$ のいずれの祖先でもない。

したがって、ステップBで $\langle X, Y, Z \rangle$ は $X^* \cdot Y^* \cdot Z$ とマークされ、アルゴリズムの正しさから、 $P_t$ では $X^* \rightarrow Y \cdot Z$ 、 $X^* \cdot Y \leftarrow Z$ 、または $X^* \cdot Y^* \cdot Z$ のいずれかであることがわかります。

もし $Y$ が $\epsilon_2$ の $X$ または $Z$ の祖先でなければ、 $Y$ は $X$ と $Z$ の最小 $d$ 分離集合にはな



い。特に  $Y \in \text{Sepset}(X, Z)$  for . この場合も、アルゴリズムの正しさから、 $\langle X, Y, Z \rangle$  は  $X^* \rightarrow Y \leftarrow^* Z$ 、または  $X^* - Y \leftarrow^* Z$  として 'P2' に配向していることがわかります。したがって、 $+i$  と  $+2$  が違います。

ケース3: CET(IIb)を満たさない。

と  $\epsilon_2$  が CET(I), CET(Ha) を満たすと仮定する。この場合、2つのグラフは異なる非遮蔽不完全不導体、すなわち、 $t$  と  $\epsilon_Z$  の両方で非遮蔽不導体を形成するような三重項  $\langle X, Y, Z \rangle$  が存在するが、一方のグラフでは  $Y$  は  $X$  と  $Z$  の共通の子の子孫であり、他方のグラフではそうでない。ここで、 $Y$  は  $I_r$  では  $X$  と  $Z$  の共通の子の子孫であるが、 $I_r$  ではそうでないと仮定する。

を含む任意の部分集合が与えられると、 $\zeta_t$ において、 $X$ と $Z$ はd-connectedであることは、レンマ8から導かれる。

Y.この場合、CCDセクションDの検索では、 $\text{Supsepset}\langle X, Y, Z \rangle$ の集合を見つけることができない。したがって、 $P$ では $\langle X, Y, Z \rangle$ は $X^* \rightarrow Y \leftarrow^* Z$ のように（つまり、点線の下線なしで）方向づけられることになる。 $Y$ が $\epsilon_2$ において $X$ と $Z$ の共通の子の子孫でない場合、Lemma9とLemma10から、 $T(Y) \text{ Sepset}\langle X, Z \rangle$ が与えられると $X$ と $Z$ がd分離するような、 $\text{Local}^*(z, X)$ の部分集合 $T$ が存在することがわかります。セクションSDでは、そのような集合 $T$ を見つけ、それゆえ $\langle X, Y, Z \rangle$ は $\epsilon_2$ において $X^* \rightarrow Y \leftarrow^* Z$ のように配向されることになる。後続の配向規則が点線の下線を削除したり追加したりしないので、 $H_i$ と $P_t$ は異なることが即座に判明する。

ケース4: CET(III)を満たさない。

$\zeta_t$ と $\epsilon_2$ がCET(I), CET(Ha), CET(IIb)を満たすと仮定します。この場合、2つのグラフは同じp-adjacenciesを持ち、非シールド導体、完全非導体、不完全非導体を持つ。しかし、2つのグラフは異なる相互排他的導体を持っている。したがって、 $H_i$ と $\zeta_2$ の両方において、覆われていない旅程が存在する、

$0' \dots X_{n+i}$ は、この行程表上のすべての三重項 $\langle X_{k-1}, X_k, X_{k+1} \rangle$  ( $1 \leq k \leq n$ ) が、以下ようになる。

の導体であるが、一方のグラフでは $\langle X_0, X_t, X_{t+1} \rangle$ と $\langle X_{n-1}, X_n, X_{n+1} \rangle$ は相互に排他的、すなわち $X_t$ は $X_0$ の祖先ではなく、 $X_n$ は $X_{n+1}$ の祖先ではないのに対し他方では相互に排他的でない。一般性を損なわない範囲で、 $\langle X_0, t, X_2 \rangle$ と仮定してみよう。

$n-1' X_n X_{n+1}$ は、 $\zeta_t$ では相互に排他的であるが、 $\zeta_t$ では排他的でない。m.e.コンダクターの定義から、 $J$ において、頂点 $X_i \dots X_n$ となる。

を含むものは、 $X_0$   $\dots$   $X_{n+i}$ の祖先ではないので、 $(X_i \dots X_n)$  セブセット( $X_0, X_{n+1}$ )

は最小であるため、 $\text{Ancestor}_S(X_0, X_{n+1})$ の部分集合となる（ここでは $\epsilon_i$ について計算した $\text{Sepset}(X_0, X_{n+1})$ を参照） 同じ理由で $\text{Descendants}(X_i)$ 。

$X_n$ ) セブセット  $\emptyset$  の m.e. 導体の定義から、以下のようになります。  
 $(X_0, X_{n+1})$

$X_k$  は  $X_{i+1}$  ( $1 \leq n$ ) の祖先であると仮定すると、有向パス  $*_{-k} = k$  が存在する。

$X_{n+1}$  の子孫は  $\text{Sepset}(X_0, X_{n+1})$  には存在しないので、 $\text{Sepset}(X_0, X_{n+1})$  を条件に、各有向パス  $s_k$  は各頂点  $X_k$  からその後継  $X_{k+1}$  ( $1 \leq n$ ) を d 接続する。また、 $X_0$  と  $X_1$  は p-adjacent なので、 $\text{Sepset}(X_0, X_{n+1})$  を条件として、 $X_0$  と  $X$  を d-connect するパス  $Q$  がある。各  $P_i$  は  $X_i$  から出ているので（つまり、パスが  $X_i \rightarrow \dots$  になる。 $-X_i$ ）、レンマ 3.3.1+ を適用して、 $\hat{z} = (Q, 1 \rightarrow p) R \leq 0' \dots X_n$  となる。

$\text{Sepset}(X_0, X_{n+1})$  のうち、 $\text{Sepset}(X_g, X_{n+1})$  が与えられた  $X_0$  と  $I_n$  を d-connect するものが構成されることができる。対称的な議論により、 $\text{Sepset}(X_0, X_{n+1})$  が与えられると、 $X_1$  と  $X_{n+1}$  も d-connected であることが示される。そして、CCD アルゴリズムのステージ  $C$  によって、 $X_0 \rightarrow \dots \rightarrow X_1$  と  $X_n \rightarrow \dots \rightarrow X_{n+1}$  は、 $X_0 \rightarrow \dots \rightarrow X_i$  と  $X_n \rightarrow \dots \rightarrow X_{n+1}$  として配向されることがわかります（ただし、それらは、アルゴリズムの前の段階で既にこのように配向されている）。したがって、再びアルゴリズムの正しさによって、これらの矢印は  $i$  に存在することになる（アルゴリズムの後続の段階では、「 $\rightarrow$ 」と「 $\leftarrow$ 」の端点のみが追加され、「 $\rightarrow$ 」端点は追加されない。もし矢印  $X_1 \rightarrow X_n$  のどちらかが「 $\rightarrow$ 」に置き換えられていたら、アルゴリズムは不正確である）。

仮説によれば、 $X_0, X_1, X_2, \dots, X_{n-1}, X_n, X_{n+1}$  は相互に排他的ではないので、 $X_t$  は  $X_0$  の祖先、または  $X_n$  は  $X_{n+1}$  の祖先  $\diamond \diamond \diamond$  からな  $\diamond \diamond \diamond$ 。

CCDアルゴリズムの配向ルールの正しさで、エッジ  $o \rightarrow *X_i$  と  $n \rightarrow *X_{n+1}w$  の両方が  $X_o \rightarrow X_1$  と  $X_n < X_1$  のように配向することはない。  $X_{n+1}w$  の両方が  $X_o \rightarrow X_1$  および  $X_n <$  として配向されることはないだろう。  $X_{n+i}$  は +2 において、このように +1 と『P2が再び変わる。

ケース5: CET(IV)またはCET(V)のいずれかを満たさない。

$H_i$  と  $\epsilon_2$  が CET(I)~(III) を満たすと仮定する<sup>20</sup> もし  $\epsilon_2$  が CET(IV) と CET(V) のどちらかを満たさない場合、どちらの場合でも次のような状況になる:  $H_i$  と  $u_n$  がある  $venices$  の列が存在する。  $1, \dots, X_n, X_{n+1}, \dots, 1$  が

以下を満たす:

- (a)  $i > j$  ならば、 $X_i$  と  $X_j$  は  $i=j+1$  のときだけ、p-adjacent となる、
- (b)  $X$  は  $X_o$  の祖先ではなく、 $X_n$  は  $X_{n+i}$  の祖先ではなく、(c)  $H_k$ 、 $1 \leq k \leq n$ 、 $X_{y-i}$ 、 $X_{k+1}$  は  $X_k$  の祖先である。

また、 $H_i$  の  $X_o$  と  $X_{n+i}$  に p 隣接し、 $t$  または  $\epsilon_2$  の  $X_o$  または  $X_{n+i}$  の祖先ではなく、 $t$  または  $X_o$  と  $X_{n+i}$  の共通の子の子孫ではないいくつかの頂点  $V$  が存在する。ケース3で説明したように、これは PAG の  $+i$  と  $t$  の両方で意味する、 $X_o \rightarrow \dots V \leftarrow \dots X_{n+1}$ 。

とは CET(IV) または CET(V) を満たさないので、一方のグラフでは  $V$  は  $X_t$  の子孫であり、他方のグラフでは  $V$  は  $X_i$  の子孫ではない。一般性を損なわずに、 $V$  が  $X_{in}$  の子孫であり、 $V$  が  $X_{i \text{ in}}$  の子孫ではないと仮定しよう。前の場合と同様に、 $i$  と  $P_2$  がそれぞれ  $\epsilon_2$  と  $\epsilon_2$  に対応する CCD PAG であれば、 $+i$  と  $+2$  が異なることを示せばよいことになる。また、 $V$  が  $J$  の任意の  $X_k$  ( $1 \leq k \leq n$ ) に最も近い頂点であると仮定すると、最短有向パス  $P-X_k-V$  は、任意の  $X_p$  ( $1 \leq p \leq n$ ) から  $t$  の最短有向パスと同じ数の頂点を多く含むという意味で、一般性を損なわない範囲で、次のように考えることができる。

$V$  の条件を満たす他の頂点  $V'$  がある。

主張する:  $V$  に p 隣接する  $P$  上の最初の頂点を  $W$  とする (CET(I);  $\epsilon_2$  が同じ p

隣接性を持つことから、両方において)。Vが $X_p$ に最も近い頂点であるという仮定 ( $\gamma_i$ ) と、次のような仮定を合わせて示す。

を満たし、CET(I)-(III)を満たすことは、Wが $\epsilon_2$ における $X_1$ の子孫であることを意味する 以下、これを証明する。

$t$ の有向サブパス $P(X_{k_1}) \rightarrow X_{k_2} \dots W$ のすべての頂点は、UのXの子孫でもあることを示す。

主張の証明: パス $P(X_{k_1})$ ベース

上に存在す

る頂点への帰納により:  $X_p$ .

仮説により

、 $X_p$ は $X_i$ の子孫である とJの両方において。

---

20CET(IV)やCET(V)が失敗する条件は、CET(I)～(III)を満たすという仮定が、グラフが多くの点で一致することを意味するため、非常に複雑なものとなっているのです。

CET(IV)が失敗した場合は $n=1$ 、CET(V)が失敗した場合は $n>1$ となります。

帰納的ケース：  $r_i$  ここで、  $P(X_k, W) - X_p - t - W$ 。 帰納仮説により、  $s < r$  の場合、  $\epsilon_2$  の  $X_t$  の子孫である。 ここで、 2つのサブケースを考える必要がある：

サブケース1：  $X_9$  と  $X_{n+i}$  の両方が  $p$ -adjacent to  $r$  でない。

$X_0$  は  $r$ -に  $p$ 隣接していないと仮定する。

この頂点列  $Q = \langle X_0, \dots, r \rangle$  のように、  $Q$  の連続する頂点が  $p$ -adjacent であるが、 これらの頂点だけが  $p$ -adjacent である。 さらに、  $X$  は  $Y$  に  $p$ -隣接していないので、 この頂点列の長さは2より大きい。 つまり、  $Q = \langle X_0, D, \dots, r \rangle$  ここで  $D$  は  $o$  以降の

部分列の最初の頂点である。 いずれの場合も、  $D$  は両者 および  $\epsilon_2$  において  $X_i$  の子孫であるが（帰納的仮説またはケース5の仮説による）、  $X_0$  は  $o_r$  において  $X_i$  の子孫ではないので、  $D$  は または において  $X_0$  の先祖ではないことがわかる。 したがって、 レンマ14を適用して、  $r$  が  $D$  の子孫であることを推論することができる。

$X_i$  は  $D$  の祖先である。

サブケース2：  $X_0$  と  $X_{n+i}$  の両方が  $p$ -adjacent to  $r$ 。

まず において頂点  $X_y$  の子孫であり、  $X_k$  は  $X_0$  または  $X_{n+1}$  の祖先ではないことに注意。 また、 において  $Y_i$  は  $X_0$  または  $X_{n+i}$  の祖先ではないことになる。 さらに、  $X_0$  と  $X_{n+i}$  は  $p$ -adjacent じゃないので  $\langle X_0, r, X_{n+1} \rangle$  は  $J$  において非シールド不導体となる。 したがって、  $\langle X_0, \dots, X_{n+1} \rangle$  は 蔽されていない 不導体仮説によって  $S_i$  と satisfy  $CET(H_a)$  だからである。 したがって、  $Y_i$  は  $X_0$  または  $X_{n+i}$  in  $o_r$  の祖先ではない。 さらに、 以下のよう

$r$  は  $V$  の祖先であり、  $V$  は  $S_i$  における  $X_0$  と  $X_{n+i}$  の共通の子の子孫ではない。 したがって、  $r$  は  $t$  における  $X_0$  と  $X_{p+}$  の共通の子の子孫ではない。

を満たすので、  $\epsilon_2$  は  $CET(I)$ 、  $(H_a)$ 、  $(IIb)$  を満たす\*2。

$S_2$  の  $X$  , ならば  $+r$  は  $V$  の条件を満たすが、  $V$  よりも  $X_p$  に近い ( $r$  は  $J$  の最短有向パス  $ffOITl X_k$  to  $V$  で  $V$  の前に出現する)。 これは矛盾であり、 したがって  $r$

は $S_2$ の $X_k$ の子孫である。

これで主張の証明は完了です。ここで、 $+i$ と $P_2$ が異なることを示す。

$iH_i$ のエッジ $W^* \rightarrow V$ を考えてみよう。 $W$ は $V$ の祖先であり、したがって $+i$ のアルゴリズムの正しさから、このエッジは $W \rightarrow V$ または $W^* \rightarrow V$ として配向される。

---

$2Ift$  と  $J_2$   $CET(I)$ ,  $CET(Ha)$ ,  $CET(IIb)$  を満たすなら、それらは同じ  $p$ -adjacencies, 同じ非シールド導体および同じ非シールド完全非導体である。したがって、導体でも完全非導体でもない他のすべての非シールド三重奏は不完全非導体である。したがって、 $)_l$  と  $)_t$  には、不純物の多い不導体である。

しかし、 $\epsilon_2$ では、 $i$ は $V$ の祖先ではなく、先ほど示したように $X_i$ は $W$ の祖先であるので、 $W$ は $V$ の祖先ではないことになります：

### サブケース1: $n=1$ 、かつ $W-X_i$

この場合、 $X_0 \rightarrow X_i - X_2$ である。 $\text{Superset}(X_0, V, z)$ は、 $\text{Sepset}(X_0, X_2) \cap \{V\}$ を含み、 $X_0$ と $X_2$ を $d$ 分離する最小の集合であり、 $\text{Superset}(X_0, V, X_2)$ の部分集合で $\text{Sepset}(X_0, X_2) \cap \{V\}$ は $X_0$ と $X_2$ を $d$ -separateする。 $\text{Superset}(X_0, V, X_3)$ のすべての頂点が $X_0$ の祖先であることは、Lemma 4 (with  $R = \text{Sepset}(X_0, X_2) \cap \{V\}$ ) から導かれる。 $z$ または $\text{Sepset}(X_0, X_3) \cap \{V\}$ となる。 $\text{Sepset}(X_0, X_3)$ のすべての頂点は $X_0$ または $X_2$ の祖先なので、 $\text{Superset}(X_0, V, X_2)$ のすべての頂点は $X_0$ の祖先であることがわかる。 $X_i$ は $X_0$ や $X_3$ 、あるいは $z$ における $V$ の祖先ではない。したがって、 $C_2$ の $d$ 分離オラクルを入力として与えられたアルゴリズムのステップ\$Dでは、 $X_i \in \text{Superset}(X_0, V, X_2)$ 。このように、CCDアルゴリズムのステップ\$Eでは、' $P_2$ における $W_0 \rightarrow V$ を $W \leftarrow V$ として配向させる(ただし、CCDアルゴリズムの前の段階で既にこのように配向されていた場合は除く)。

のアルゴリズム)。したがって、' $P_t$ と $+2$ は等価ではない。

### ケース2: $n>1$ 、または $W-X_i$

**主張:**  $X_0$ と $X_{n+i}$ は、 $\text{Superset}(X_0, V, X_{n+i}) \cap W$ で $d$ -connectedとなる。

**証明する:**  $W$ が $X_t$ の子孫であり、 $X_n$ の子孫であることは既に示しました。であり

$t$ と $X_0$ は $X_i$ に $p$ 隣接するが、 $X_i$ は $X_0$ の祖先ではないので、 $X_0$ は $X_i$ の祖先である。したがって、 $t$ と $S_2$ の両方において、 $X_0$ から $X_i$ まで、 $X_0$ 以外のすべての頂点が $X_i$ の子孫である有向パス $P^*$ がある ( $X_0 - X_1$ の場合、最後の主張は些末である。 $X_0$ と $X_t$ が $X_0$ または $X_i$ の祖先である共通の子を持ち、 $i$ が $X_0$ の祖先でない場合、これは単に $X_0 - C_m \cdots X_t$ という経路の性質を述べているだけで、 $C$ は $X_0$ と $X_i$ の共通の子である)  $W$ は $X$ の子孫であるから、 $X_i$ から $W$ への有向経路 $P_i$ が存在することが分かる。 $0$ と $i$ を連結すると、 $X_0$ から $W$ への有向パス $P^*$ ができ、 $X_0$ 以外のすべての頂点は $X_i$ の子孫である。 $X_i$ は $0' - X_{n+i}$ や $V$ の祖先ではないので、 $P^*$ 上の $X_0$ 以外の



頂点は  $X_0, X_{n+1}$  や  $V$  の祖先でないということになる。同様に、 $X_{n+1}$  以外のどの頂点も  $X_0, X_{n+1}$  または  $V$  の祖先とならない経路  $frOITl Q' frolTl X_{n+1}tO W$  を構築することができる。

$Supset(X_0, V, X_{n+1})$  のすべての頂点は  $X_0, X_{n+1}$  または  $Sepset(X_0, X_{n+1}) \cap V$  の祖先であるので、前と同様に  $Supset(X_0, V, X_{n+1}) \cap S$  のすべての頂点は  $o$  の祖先であると言えます。したがって、 $Supset(X_0, V, X_{q+i})$  の頂点は  $P'$  や  $Q'$  に存在しない（定義により  $X_0, X_{n+1} \notin Supset(X_0, V, X_{q+i})$ ）。ここで、Lemma 3.3.1+により、 $P'$  と  $Q'$  を連結して、 $X_0$  と  $X_{n+1}$  を  $d$ -connect するパスを形成することができます。

サブセット  $(X_0, X_{n+1}) \cap S$

この主張から、CCDアルゴリズムのステップ\$Fは、 $V^* \rightarrow W$ を+2の $V \rightarrow W$ のように方向付ける（アルゴリズムの前の段階で既にこのように方向付けされている場合を除く）ことが直接導かれる。したがって、 $\pi_i$ と $\pi_t$ は異なるものである。

ケース1-5は、 $t$ と $t$ がCET(I)-(V)を満たさない可能性を排除しているので、これでCCDアルゴリズムがd-分離同値クラスを見つけることの証明が完了したことになる。

## 参考文献

- AHO, A.V., HOPCROFT, J.E., & ULLMAN, J.D., (1974) The Design and Analysis of Computer Algorithms. アディソン・ウェスリー，リーディング・マス.
- BOLLEN, K. (1989) Structural Equations with Latent Variables, Wiley, New York.
- DAWID, A. P. (1979) 統計理論における条件付き独立性（考察付き）  
*Journal Royal Statistical Society Ser. B* 41, 1-31.
- FRYDENBERG, M. (1990) チェーングラフのマルコフ特性. *Scandinavian Journal of Statistics* 17, 333-353.
- Geiger, D. (1990). グラフオイド：確率的推論のための質的フレームワーク。博士論文、Univ. California, Los Angeles.
- ゴールドバーガー、A. S. (1964). エコノメトリック・セオリー Wiley, New York.
- haavelmo, t. (1943). 連立方程式の統計的意味合い。  
*エコノメトリカ*, 11, 1-12。
- KIIVERI, H. and SPEED, T.P. (1982). 多変量データの構造解析：A review. In *Sociological Methodology, 1982* (S. Leinhardt, ed.) 209-289. Jossey Bass, San Francisco.

KOSTER, J.T.A.(1994) 非再帰的因果モデルのマルコフ特性.MS.

lauritzen, s., d awid, a., larsen, b., leimer, h. (1990)."独立性 "の特性

の有向マルコフ場。"ネットワークス, 20, 491-505.

LEE, S. (1957) 共分散構造モデリングにおけるモデルの等価性。オハイオ州立大  
学心理学部博士号論文。

メイソン、S. (1956) 。フィードバック理論：シグナルフロー・グラフのさら  
なる特性.

電波工学研究所紀要44 920-926.

- MUTHÉN, B. (1984) 二項対立型、順序型、連続型潜在変数指標を用いた一般  
的構造方程式モデル.*Psychometrika* 49: 115- 132
- PEARL, J. (1985) Probabilistic Reasoning in Intelligent Systems.Morgan Kaufman,  
San Mateo, CA.
- RICHARDSON, T. (1994a).非再帰的構造方程式モデルにおける等価性.  
Proceedings:CompSiai 94 , Physica Verlag
- RICHARDSON, T. (1994b).環状グラフモデルの特性.MS論文、カーネギーメロン  
大学
- SOBEL, M. E. (1993) Comment in *Statistical Science* Vol.8 3 p.271
- SPIRITES, P., (1993) Directed Cyclic graphs, Conditional Independence and Non-  
Recursive Linear Structural Equation Models. 哲学・方法論・論理学  
Technical Report 35, カーネギーメロン大学
- SPIRITES, P., (1994) フィードバックや混合物を表現する有向環状グラフモデ  
ルにおける条件付き独立性. 哲学・方法論・論理学 Technical Report  
59, カーネギーメロン大学
- SPIRITES, P., GLYMOUR C. and SCHEINES R. (1993), Causation, Prediction and Search.  
Lecture Notes in Statistics, Springer-Verlag.
- Verma, T. & pearl, J., (1990).因果関係モデルの等価性について.Technical Report R-  
150, Cognitive Systems Lab., UCLA.
- WERMUTH, N. (1992) On Block-Recursive Linear Regression Equations, *ficviii*  
*Brasileira de Probabilidade e Estatística* 6, pp.1-56 (with discussion)
- WHITTAKER, J. (1990).応用多変量統計学におけるグラフィカル・モデル, Wiley,  
NY.